

再処理工程におけるネプツニウムの回収(I)

TBP-U-HNO₃系におけるNp(IV), Np(VI)の分配

Neptunium Recovery in the Purex Process. (I)

Study on distribution of Np(IV) and Np(VI) in TBP-U-HNO₃ system.

1971年10月



動力炉・核燃料開発事業団

東 海 事 業 所

複製あるいは入手については、下記にお問い合わせください。

茨城県那珂郡東海村 〒 319-11

動力炉・核燃料開発事業団

東海事業所研究管理課 ☎ 東海 (02928) 2-2311 内線 238

© Power Reactor and Nuclear Fuel Development Corporation—1971

Enquiries about copyright and reproduction should be addressed to ;

Tokai Works, Power Reactor and Nuclear Fuel Development
Corporation,

Tokai, Ibaraki, Post No.319-11, Japan.

再処理工程におけるネプツニウムの回収(I)

TBP-U-HNO₃系におけるNp(IV), Np(VI)の分配

坪谷隆夫, 根本慎一, 星野忠也

要旨

Np(IV)およびNp(VI)についてTBP(Tri-n-butyl phosphate in dodecane diluent)-U-HNO₃における抽出分配データを求めた結果, 10, 20, 30% (v/v) TBP系においていずれも $\log E_{Np} / (TBP)^2$ と $\log (NO_3)_{aq}$ の間に定量的な直線関係が成り立つことを見いだした。(ただし, E_{Np} :Np抽出係数, (TBP):TBPのうち,U,HNO₃と結合していないTBPの濃度(計算値), (NO_3)_{aq}:水相の硝酸根濃度)。また, 既に求められている活量定数を用いて, 熱力学的平衡定数K_aを求めたところ, Np(IV)については $K_a = 0.66$, Np(VI)については $K_a = 7.4$ を得た。分配データから E_{Np} / E_U を求めると, Np(IV), Np(VI)ともおよそ 0.2~3 M の NO₃ 濃度範囲にわたって, その値は一定であることを明らかにした。また連続抽出装置を用い, 軽水炉型フローシート(30% (v/v) TBP-U-HNO₃系)におけるNp(VI)の抽出性を求め, その結果とバッチ抽出における結果にみられる差異について言及した。

Neptunium Recovery in the Purex Process (I).

Study on the distribution of Np(IV) and Np(VI) in the system TBP-U-HNO₃.

Takao TSUBOYA*

Shinichi NEMOTO*

Tadaya HOSHINO*

Abstract

From the results of batchwise extraction measurements of Np(IV) and Np(VI) in the systems 10, 20 and 30%(v/v) TBP (Tri-n-butylphosphate, diluent)-U-HNO₃, it was shown that linear relations lay between $\log(E_{Np}/(TBP)_o^2)$ and $\log((NO_3)_{aq})$, where E_{Np} ; the extraction coefficient of Np, $(TBP)_o$; the free TBP concentration, $(NO_3)_{aq}$; total nitrate concentration in the aqueous phase. Each thermodynamical equilibrium constant of Np(IV) or Np(VI) in these extraction systems, K_a , were found to be 0.66 or 7.4, respectively, using the activity coefficients of γ_{TBP} and γ_{HNO_3} given in elsewhere. Each E_{Np}/E_U ratio was almostly constant between 0.2 and 3 M NO₃. It was described about a result of the Np(VI) extraction, scrub, and back extraction in the system 30 %(v/v) TBP-U-HNO₃ in counter current extraction experiments with laboratory mixer-settlers.

* Power Reactor and Nuclear Fuel Development Corporation, Ibaraki-Ken.

目 次

1. まえがき	1
2. 実験	1
2.1 ネプツニウムの精製	1
2.2 分析	2
2.3 抽出実験	3
2.4 ネプツニウム(VI)の連続抽出実験	3
3. 結果および考察	4
3.1 抽出実験	4
3.2 連続抽出実験	6
4. まとめ	7
5. 謝 辞	7
参考文献	8

1. まえがき

ネプツニウム (^{237}Np) は使用済燃料中に含まれ¹⁾、湿式再処理工程においてウラン(U)、プルトニウム(Pu)との共抽出、また、それからの分離が可能な唯一の副生成物である。ネプツニウムは高燃焼度燃料中に比較的多量に存在し、分離精製ののち原子炉で再照射することにより作りだされるプルトニウム-238 (^{238}Pu) は良質の α 放射体として最近、熱源その他のエネルギー源として注目されている²⁾。

ところで、Purex 湿式再処理工程におけるネプツニウムの挙動はその原子価によるところが大きい。Purex系(抽出剤: TBP (tri-n-butylphosphate), 希釈剤: n-ドデカン, 水相: 硝酸酸性)においてネプツニウムは(V), (V), (VI)価をとり、(V)価の抽出係数(E)は(V)価および(VI)価に比べて著しく小さいことがわかっている。しかし從来から提供されているデータは酸濃度やTBPのドデカンによる希釈の割合をパラメータとする扱いがなされているものがほとんどである。本来、抽出平衡データは異なる酸濃度、TBP希釈率等によっても同一温度条件であれば唯一の平衡式で表現されるはずである。そこで、ここでは(V)価および(VI)価の抽出係数についてプロセスの主成分であるウランおよび硝酸水相と10, 20, 30% (γ_v) TBP相との間で室温において測定しなおしそれらの分配データを提供し、あわせて、(V), (VI)に関する抽出平衡式を求める目的とした。

2. 実験

2.1 実験用ネプツニウムの精製

ROC (Amersham, England.) より購入した酸化ネプツニウム (NpO_2) 400mg (Npとして350mg) を10MHNO₃ 15ml. に加え、これに飽和KBrO₃溶液を徐々に10ml. を滴下し多少加熱して溶解させる。これをほどく発乾固させたのち3MHNO₃ 20ml. に溶解させる(7000cpm/ μ l)。これに0.3M Fe(SO₄ NH₂)₂ 40ml. を混ぜ10分間放置する。これと0.5M TTA (Thenoyl-tri-fluoroacetone) / Xylene 60ml. を混ぜ自動シーカで15分間振とうしたのち水相を除く(50cpm/ μ l)。有機相は1MHNO₃ 20ml. で洗浄し、水相を再び除く(2cpm/ μ l)。次に逆抽液として10MHNO₃ 15ml. を有機相と混ぜ10分間振とうする。逆抽水相精製液(9000cpm/ μ l)と有機相廃液(10cpm/ μ l)を分離する。精製前後のプルトニウムと精製したネプツニウムのアスペクトルを第1(a)図第1abに示す。また精製方法について第2図をまとめた。

2.2 分析

2.2.1 Arsenazo-III 吸光光度法によるネプツニウムの定量

強酸溶液にてNp (IV) がArsenazo-IIIと錯生成し、 $660\text{m}\mu$ 付近に吸収ピークを形成する性質^{3), 4)}を利用する。4.3M HNO₃ 1ml. に0.3M Fe (SO₃NH₂)₂ 50μlを加え、これにNp試料 (Np: 0~20μg) ~100μl. を添加して15分間放置したのち 8.85×10^{-4} M Arsenazo-III溶液 (みかけ濃度, Arsenazo-III純度45%, 同仁化学製) 1ml. を混ぜる。プランク対照にして $660\text{m}\mu$ における吸光度と、あらかじめ作成した検量線を用いて定量する。ただしUの存在は定量に妨害する (Npの10倍量のUはNpとほぼ等しい吸光度を与える)。

2.2.2 TTA抽出α放射能計測法によるネプツニウムの定量法

U溶液中の被量のNpをFe (II)によりNp (IV)に原子価調整しTTAに抽出したのち10M HNO₃に逆抽出し、定量を採取し、ステンレス試料皿に焼付けたのちα放射能をZnSシンチレーションカウンタ (日本無線医学学, ZDS-451), および必要に応じて半導体 (Si) 検出器 (ORTEC-CA-027-300-100) を用いて計測、定量する。

- 試薬 ①スルファミン酸第一鉄 ($\text{Fe}(\text{SO}_3\text{NH}_2)_2$)

0.9Mスルファミン酸に金属鉄を0.3Mになるように溶解する。

- ②0.5M TTA/Xylene, 1.5M HNO₃, 2M HNO₃, 10M HNO₃ およびXylene。

- 方法A: 水相試料

$\text{Fe}(\text{SO}_3\text{NH}_2)_2$ 1ml., 2M HNO₃ 1ml.を混ぜ、TTA 1ml.を加えたのち試料200μl.を添加し自動シェーカにて10分間振とうしNpを抽出する。

抽出したTTA相を500μl採取し10M HNO₃ 1ml.と5分間振とう、逆抽出する。逆抽出液50~100μlを試料皿に焼付けα放射能を測定し、標準試料から定量する。

- 方法B: 有機相試料

$\text{Fe}(\text{SO}_3\text{NH}_2)_2$ 1ml. とXylene 1ml.を混ぜ、これに試料200μlを加え、3分間振とうし水相に逆抽出させる。逆抽出液500μl.に1.5M HNO₃ 1.5mlを加え、方法AによりTTA抽出以降の操作をする。

なお、方法AおよびBにおいて、UはTTAにある程度の抽出係数を有し、また逆抽出時もNpと同様に挙動する。放射能測定上、Npに対してUが無視できない場合はZnSシンチレーションカウンタと半導体 (Si) 検出器を並用する。

ZnS カウンタは U および Np の α エネルギを完全に検出し、また半導体検出器は波高分析器との組合せにより U および Np のスペクトルを分離する。Np のピークは 238 U に対して一定の比率 f にある 234 U のピークと重なる。第3図においてスペクトル A の計測値 C_A は Np のフラクションと 234 U のフラクションからなり、スペクトル B の計測値 C_B は 238 U のフラクションである。ZnS カウンタによる計測値 C のうち Np に基づく値 C_{Np} は次の式から求められる。

$$C_{Np} = \frac{C(C_A - C_B \cdot f)}{C_A + C_B} \quad 2.2.1$$

但し A と B の中間にあらわれる 235 U のスペクトルによる計測値は無視する。

2.2.3 その他の分析

ウランは水相、有機相とも DBM (Di-benzoylmethane) 一直接吸光光度法、また酸はフッ化カリウムによるウランマスクのちアルカリ中和電位差滴定法を使用した。分光光度計には Beckman DB-G、電位差滴定には Hitachi / Hirayama RAT-101 を使用した。

2.3 抽出実験

水相の組成は U (0~100g/l)-Np (100mg/l)-HNO₃ (0.2~3.0M) で Np(VI) の場合には、この溶液 2 ml. に 0.4M K₂Cr₂O₇-10⁻⁴M Ce(IV)⁵ 50 μ l. を加え、また Np(IV) の場合には 2 ml. に 0.3M Fe(SO₄ NH₂)₂ 100 μ l. を加え原子価調整を行なった。有機相としては、あらかじめ所定の硝酸で平衡にした、10, 20, 30% (v/v) TBP/n-Dodecane を用いた。TBP は試薬特級をアルカリ性浴-水蒸気蒸留法⁶により精製し、また n-Dodecane は丸善石油製溶媒 Np-175 を蒸留し 203~225°C 留分を使用した。水相および有機相の等容積を十分に室温で振とうし抽出操作を行なった。その後、両相の Np は TTA 抽出- α 放射能計測法により定量した。なお、両相の U, HNO₃ 濃度については、実験範囲において Np を含まぬ系であらかじめ測定した。本実験において、Np 初濃度はいずれも 100mg/l であるが、それを 1g/l にした場合も分配係数 (E) に差異を生じない。したがって Henry の法則が適用される領域での実験であるから、これより希薄な Np 濃度の場合も、同様の条件では等しい分配係数を与える。また、Np(IV) の調整に採用した鉄還元法は 0.5M HNO₃ 以下で還元性が低下し適当な方法でなく、信頼性のある結果が得られなかった。そこで、該当する酸濃度では 2M HNO₃ 中で還元した Np 溶液を 0.5M HNO₃ になるよう希釈し、ただちに抽出操作を行なった。実験はすべて室温にて行なった。

2.4 軽水炉燃料処理 Purex 共除染サイクルフローシートにおけるネプツニウム (VI) の連続抽出試験 (Run-3TINI).

実験室用ミキサ・セトラ (Sonal 社 (フランス) 製, 'Cyran' 型・ミキサ部 6 ml./段, セトラ部 17 ml./段, 段数 16) を 2 バンク (基) 使用した。第4図のフローシートに基づき,

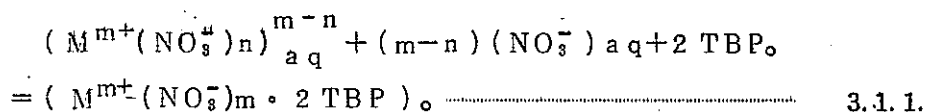
一方(1Aバンク)を抽出・洗浄用、他方(1Bバンク)を逆抽出用に使用した。

供給液(1AF): 18.0% / U, 3M HNO₃, 72mg / 1Np および酸化剤として 2×10^{-3} M K₂Cr₂O₇, 5×10^{-6} M O(W)を1Aシグ8段目が供給し、抽出液(1AX): 30% (V/V) TBP/n-Dodecane (酸濃度: 0.66M), 洗浄液(1AS): 3M HNO₃をそれぞれ1Aバンク1段および16段から加えた。これらのU廃液(1AW)およびUプロダクト(1AP)は1段および16段目からとりだされ1APは1Bバンク1段目に流入し13段目および4段目から加えられる逆抽出液(1BX), 0.02M HNO₃, (1B1X), 3M HNO₃によりUは水相に逆抽出され1段目から共除染サイクルプロダクト(1BP)としてとりだされる。21時間の連続操作ののち、各段のサンプリングを行ない、U, HNO₃およびNpの濃度プロファイルを求めた。

3. 結果および考察

3.1 バッチ抽出におけるNp(V)およびNp(VI)の挙動

UおよびHNO₃の抽出に関しては10% (V/V), 20% (V/V) TBP/n-Dodecane系における結果を第1表、第2表にまとめた。また水相の酸初濃度が一定の場合における水相のU濃度[V]に対する有機相のUおよびHNO₃濃度について第5図、第6図に示した。第7図は30% (V/V) TBP系での値⁷⁾をまとめたものである。次に水相の酸濃度を一定にして、有機相のU濃度とNpの抽出係数との関係を求めた。第8図～第10図はNp(V); 第11図～第13図はNp(VI)についての結果をTBP濃度ごとに示している。ところで、TBP-HNO₃系においてNp(V), Np(VI)またはUは次の抽出反応式が成立立つ⁸⁾。



ここでaqは水相、○は有機相をあらわす。この反応の平衡定数(モル濃度基準)をK_Mとすると次式が成立する。

$$K_M = \frac{E_M}{(NO_3^-)_{aq}^{m-n} \cdot (TBP)^2} \quad 3.1.2.$$

ここでE_Mは対象イオンの抽出係数、また(TBP)_oは次式から求められる遊離TBP濃度である。

$$(TBP)_o = (TBP)_{initial} - (2(U)_o + (H)_o) \quad 3.1.3.$$

ただしinitialはTBP濃度で10, 20, 30% (V/V)系においてそれぞれ0.344, 0.688, 1.03Mである。また、HNO₃はTBPと有機相において錯体TBP·HNO₃を形成するものとする⁸⁾。

3.1.2式は次のように書くこともできる。

$$E_M / (TBP)_{\circ}^2 = K_M \cdot (NO_3^-)_{aq}^{m-n} \quad \text{3.1.4.}$$

そこで、第8図～第13図の結果から $E_{Np} / (TBP)_{\circ}^2$ を計算し第3表～第8表に示した。

これらの表において $(NO_3^-)_{aq}$ は次式から算出した。

$$(NO_3^-)_{aq} = (HNO_3)_{aq} + 2(U)_{aq} \quad \text{3.1.5.}$$

なお、 $E_U / (TBP)_{\circ}^2$ についても第1表、第2表に示した。これらの結果から $E_{Np} / (TBP)_{\circ}^2$ と $(NO_3^-)_{aq}$ の関係を図示すると第14図から第19図がえられる。両者の関係は $N_p(V)$ 、 $N_p(VI)$ のいずれにも、両対数図表上に良い直線関係が成り立つことがわかる（図上の直線は $(NO_3^-)_{aq}$ から $E_{Np} / (TBP)_{\circ}^2$ を求める回帰式に基づいて求めたもので、いずれも相関係数 r は $r > 0.94$ である）。それぞれの直線式は次式のようにまとめることができる。

$$N_p(V) : \quad 0.5 < (NO_3^-)_{aq} (M) < 2.5$$

$(TBP)_{initial}$

% ($\frac{v}{v}$) /

$$10 \quad \log E_{Np} / (TBP)_{\circ}^2 = 2.081 \log (NO_3^-)_{aq} + 1 \log 1$$

$$20 \quad = 2.351 \log (NO_3^-)_{aq} + 1 \log 0.8$$

$$30 \quad = 2.551 \log (NO_3^-)_{aq} + 1 \log 0.7$$

$$N_p(VI) : \quad 0.2 < (NO_3^-)_{aq} (M) < 3.5$$

$$10 \quad \log E_{Np} / (TBP)_{\circ}^2 = 2.351 \log (NO_3^-)_{aq} + 1 \log 12.5$$

$$20 \quad = 2.141 \log (NO_3^-)_{aq} + 1 \log 8.8$$

$$30 \quad = 2.191 \log (NO_3^-)_{aq} + 1 \log 7.0$$

3.1.6.

3.1.2式はモル濃度基準の平衡式であるが、熱力学的平衡定数 K_a, M を用いると 3.1.4 式は次のようになる。

$$E_M / (TBP)_{\circ}^2 \cdot r^2 TBP = K_{a,M} \cdot (NO_3^-)_{aq}^{m-n} \cdot r_{NO_3^-}^{m-n} \quad \text{3.1.7.}$$

$N_p(V)$, $N_p(VI)$ に対する計算結果は既述した回帰法を用いて整理し $m-n$, K_a , $N_p(V)$, K_a , $N_p(VI)$ を求め、第9表に示した。ここで r_{TBP} は 1.0, 2.0, 3.0% ($\frac{v}{v}$) TBP について求められている TBP のモル活量係数⁹⁾ (r_{TBP} はそれぞれ 2.84, 2.33, 2.03) を用い、水相における NO_3^- のモル活量係数 $r_{NO_3^-}$ は HNO_3 について求められている値¹⁰⁾ を採用した。

Table 9. Thermodynamical equilibrium constant, K_a , for
 $N_p(V)$ and $N_p(VI)$ in the TBP-HNO₃-U system

	TBP	$m-n$	K_a, N_p
$N_p(V)$	1.0	1.98	0.62
	2.0	2.13	0.63
	3.0	2.33	0.73
mean value		2.15	0.66
$N_p(VI)$	1.0	2.22	8.4
	2.0	2.15	6.6
	3.0	2.07	7.1
mean value		2.15	7.4

第9表において $m-n$ の平均値が $m-n \sim 2$ であることから $N_p(V)$, $N_p(VI)$ はそれぞれ $N_p(NO_3)_2^{2+}$, $N_pO_2^{2+}$ の錯形で抽出されることを示している。また、平衡定数 K_a, N_p は $N_p(V)$, $N_p(VI)$ に対して TBP 濃度によらず一定値を与える、その値にそれぞれ 0.66, 7.4 をえた。 $N_p(V)$ は 0.5~3 M HNO₃ の範囲で $N_p(NO_3)_2^{2+}$, $N_p(NO_3)_2^{2+}$ が主要錯体であることが知られている¹¹⁾。また $N_p(VI)$ ¹²⁾ は U(VI)¹³⁾ と同様にほとんど硝酸錯生成能を示さない。したがって $N_p(V)$, $N_p(VI)$ に対して、いずれも ($m-n$) = ca. 2 を与えることは妥当である。

ところで、二種のイオンの抽出係数 E_{M1} , E_{M2} は 3.2.1 式から次のように示される。

$$E_{M1}/E_{M2} = K \cdot (NO_3)_{aq}^{\frac{(m_1-n_1)-(m_2-n_2)}{2}} \quad 3.1.8.$$

抽出プロセスにおける主成分の U の抽出係数は抽出装置内の各段毎に正確に求められているので 3.1.8 式により容易に $E_{Np}(V)$, $E_{Np}(VI)$ を知ることができ、プロセス設計上、有効である。すでに Pu(V), Pu(VI), Th(V) について U との比較がなされているが⁷⁻⁹), $N_p(V)$, $N_p(VI)$ で試みた結果が第 14 図, 第 15 図である。また、各平均値を求め第 10 表にしめした。 $N_p(V)$, $N_p(VI)$ に対し、実験範囲の NO₃ 濃度においては、一定値 (k) を与えることがわかる。

3.2. 連続抽出試験

N_p , U, HNO₃ の各段濃度プロフィルを第 16 図, 第 17 図に示した。各出口段での分析結果から、U, N_p の物質収支はそれぞれ 1.03, 0.98 であり、バンクは平衡にあることを示した。1 A バンクにおける N_p の濃度プロフィルから N_p は供給段近傍の洗浄段

Table 10. Ratio (k) of $E_{Np}(W)$ or $E_{Np}(VI)$ to E_U .

	TBP (%)	k	$(NO_3)_{aq}$ (M)
$Np(W)$	10	0.05 ± 0.01	0.5 to 2.7
	20	0.07 ± 0.02	
	30	0.09 ± 0.03	
$Np(VI)$	10	0.5 ± 0.1	0.2 to 3.7
	20	0.6 ± 0.1	
	30	0.5 ± 0.1	

水相において異常な濃度増加をみせている。そのため Np の抽出係数 E_{Np} が低下し、 E_{Np}/E_U も低い値を与えていた。一方、B バンクにおいては E_{Np} と E_U に大きな差異を生ぜず、 $Np(VI)$ の水相への向流的な逆抽出には U とほぼ等しい段数が必要であることを示した。

バンクが定常状態にあると考えられるから、A バンクにおいては多量の酸化剤の供給にもかかわらず $Np(V)$ の存在が予想され、また B バンクではネプツニウムの逆抽出が行なわれにくいことを示している。

4. まとめ

$Np(W)$ および $Np(VI)$ について TBP-HNO₃-U 系における抽出分配データを求めた結果、10, 20, 30% (v/v) TBP 系において、いずれも $\log E_{Np}/(TBP)_0^2$ と $\log (NO_3)_{aq}$ の間に TBP の希釈の程度によらず一本の直線関係が成り立つことを見いだした。また、既に求められている r_{TBP} , $r_{NO_3^-}$ を用いて、熱力学的抽出平衡定数 K_a を求めたところ $Np(W)$ については $K_a = 0.66$, $Np(VI)$ については $K_a = 7.4$ を得た。分配データから E_{Np}/E_U を求めたところ $Np(W)$, $Np(VI)$ とも NO_3^- 濃度の広い範囲にわたって、その値は一定であることを明らかにした。また、連続抽出装置を用い軽水炉型共除染フローシート (30% TBP-U-HNO₃ 系) における $Np(VI)$ の抽出性を求め、その結果のバッチ抽出における結果にみられる差異について言及した。

5. 謝辞

試料分析等に協力をいただいた、当研究室広木俊男氏、田中忠三郎氏（外来研究員、住友金属鉱山中央研究所）に謝意を表します。

参考文献

- 1) Deonigi, D. E., BNWL-140(Rev. 1)(1966).
- 2) Baybarz, R. D., At. Energy Rev. 8, 327(1970).
- 3) Savvin, S. B., Talanta 11, 1(1964).
- 4) Chudinov, E. G., Yakovlev, G. N., Radiokhimiya 4, 505(1962).
- 5) Srinivasan, N., Ramaniah, M. V., Patil, S. K., Ramakrishna, V. V., B. A. R. C. - 428(1969).
- 6) Alcock, K., Grimley, S. S., Healy, T. V., Kennedy, J., McKay, H. A. C., Trans. Faraday Soc., 52, 39(1956).
- 7) - a) Coddington, J. W., Haas, Jr. W. O., Heumann, F. K., Ind. Eng. Chem. 50, 145(1958).
b) For the case of trace concentration of U, Siddall III, T. H., A/Conf. P/521(1958).
- 8) McKay, H. A. C., Healy, T. V., Progr. Nucl. Energy Series III, Process Chemistry 2, 546(1958).
- 9) Hallaba, E., Azzam, R., Z. Phys. Chem. 237, 177(1968).
- 10) International Critical Tables 7, 239(1930).
- 11) Shilin, I. V., Nagorov, V. K., Radiokhimiya 8, 474(1964).
- 12) Gainar, I., Sykes, K. W., J. Chem. Soc., 4452(1964).
- 13) Ohashi, H., Morozumi, T., 日本原子力学会誌 9, 65(1967).

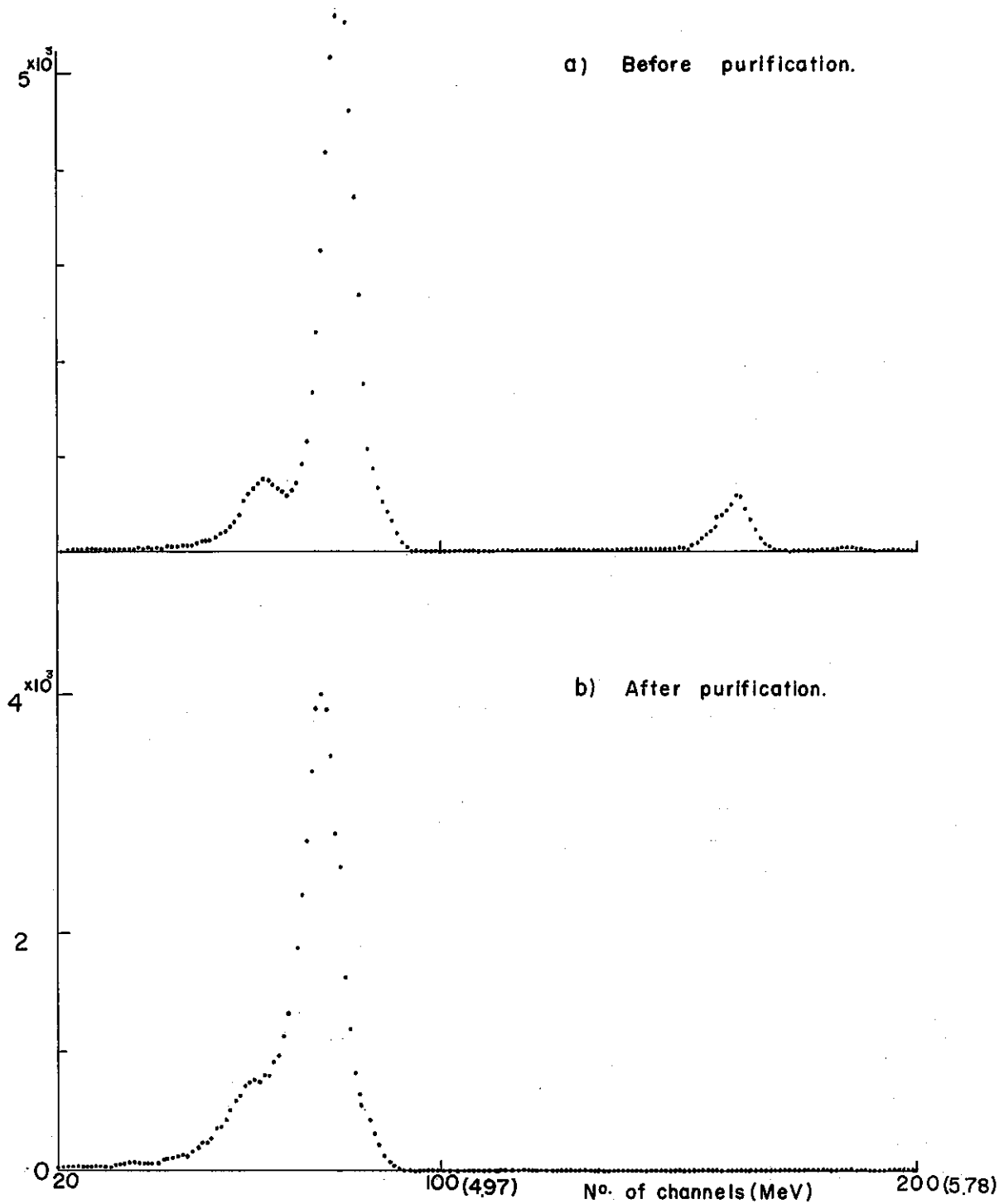


Fig. 1. Pulse Height Analysis of neptunium samples ; a) before purification, b) after purification.

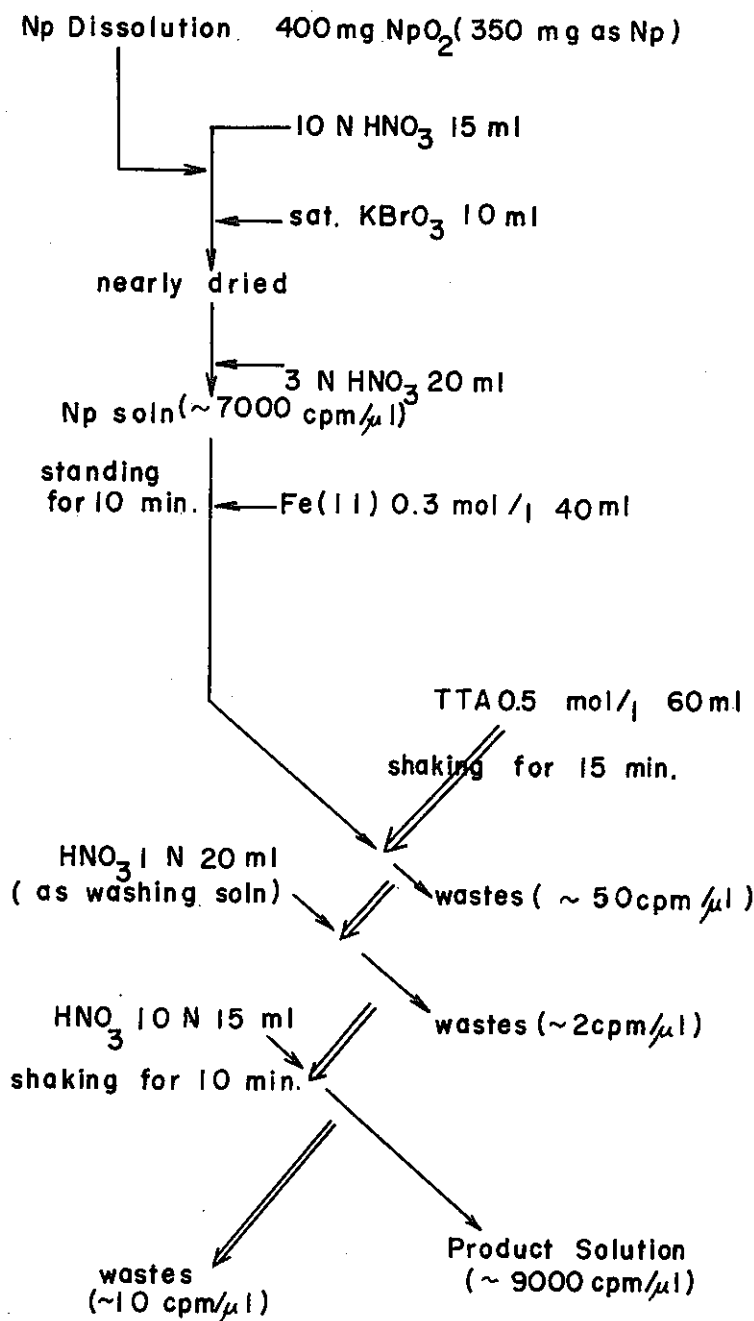


Fig. 2. Np purification procedure for laboratory use.

starting material : NpO_2

final product : Neptunium nitrate solution

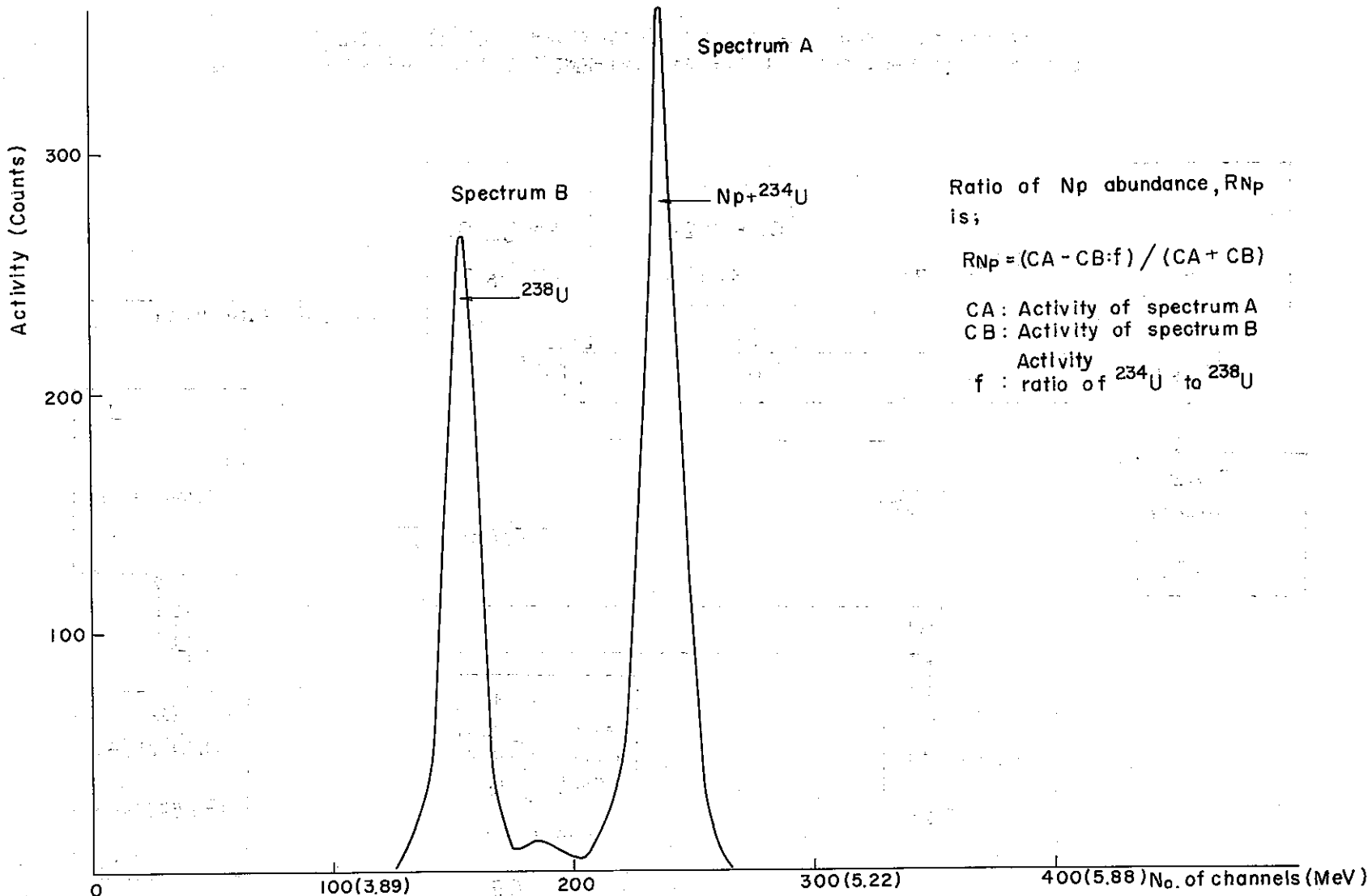


Fig. 3. Pulse Height Analysis of neptunium, contaminated with uranium.
(Spectrum A for Np^{234}U , spectrum B for ^{238}U).

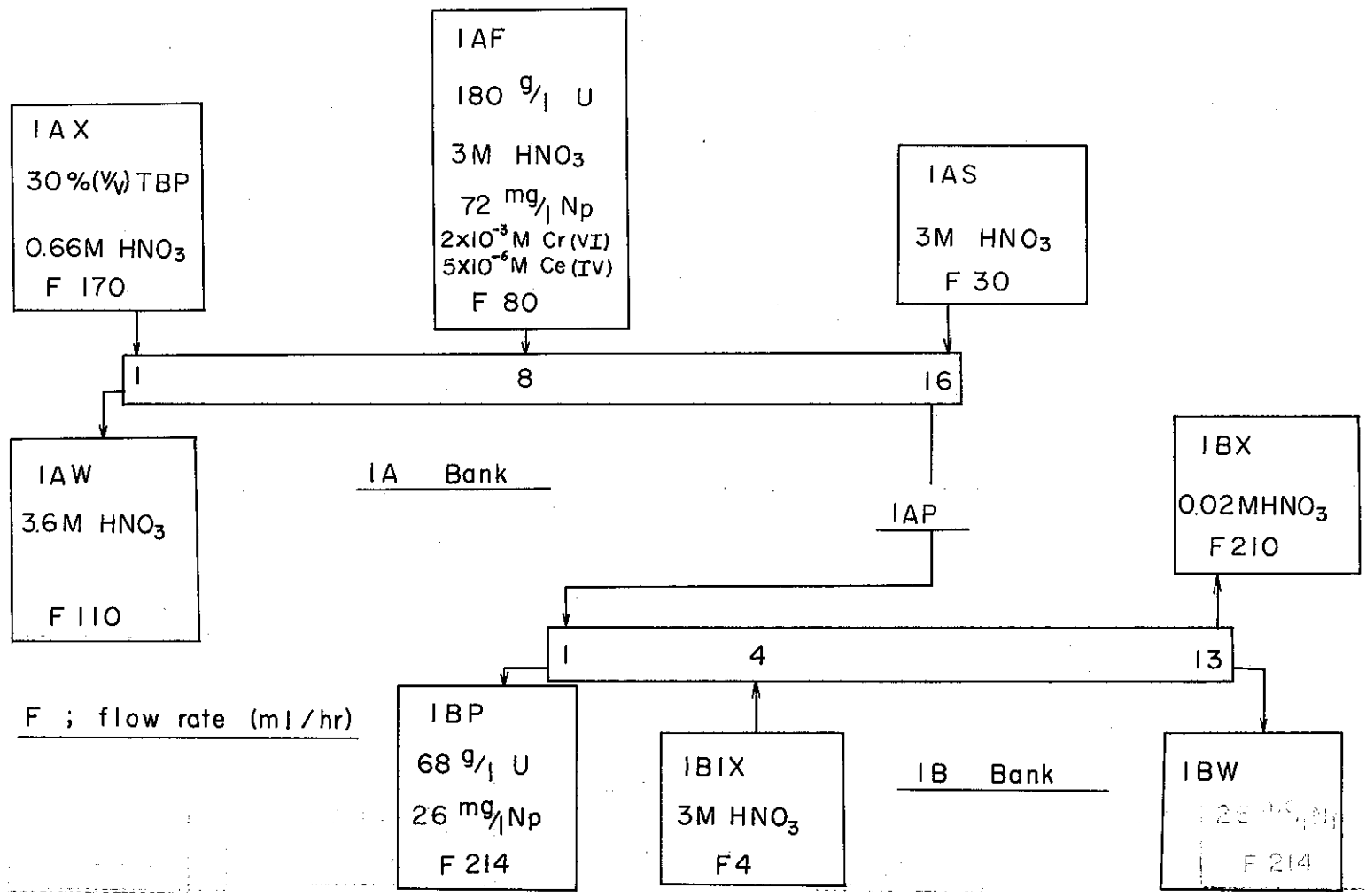


Fig. 4. Flowsheet for the LWR-1st cycle/cold-experimental scale for 3T1N1. (Np(VI) extraction, scrub, and backextraction).

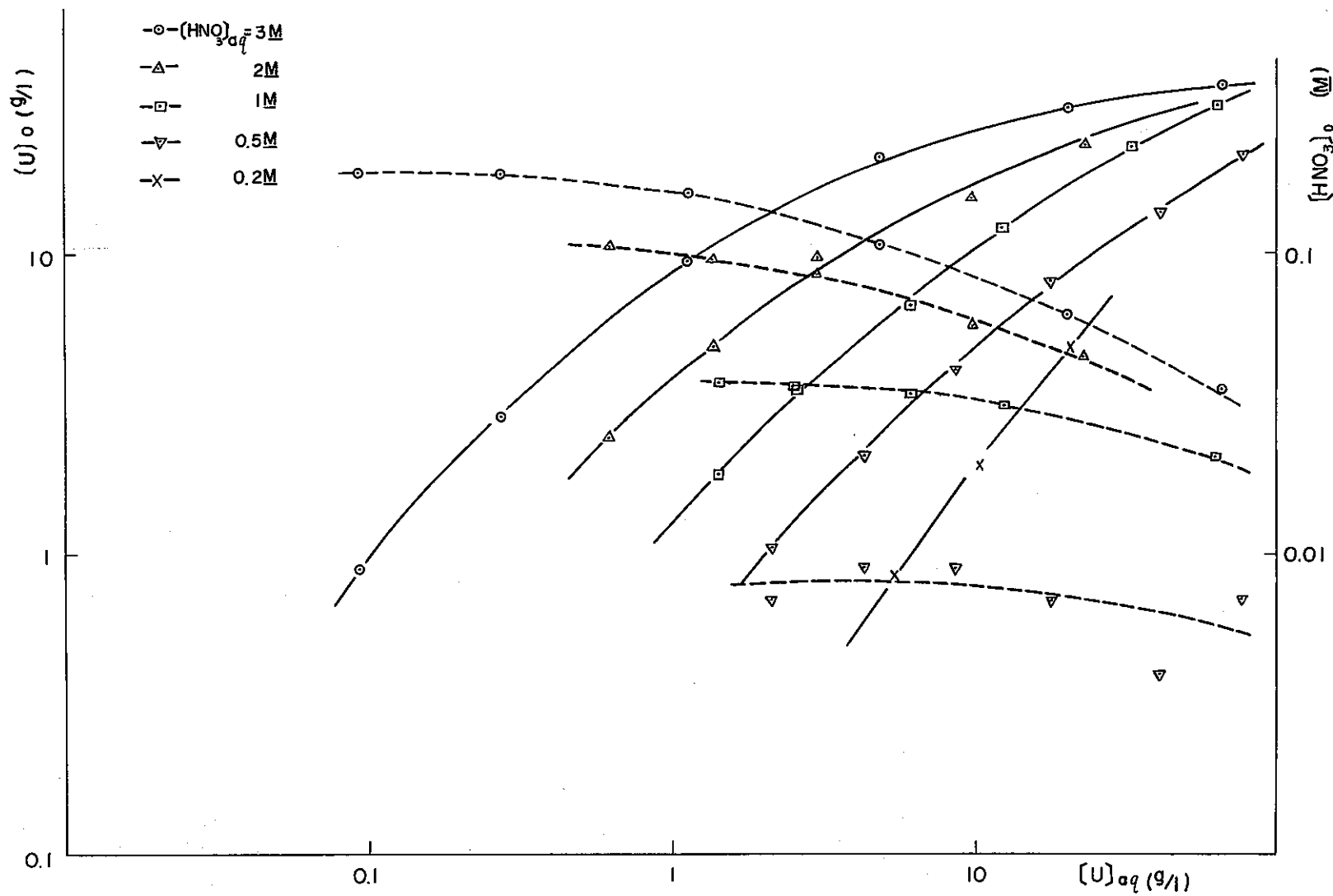


Fig. 5. Uranium distribution in 10 % (v/v) TBP- HNO_3 system.

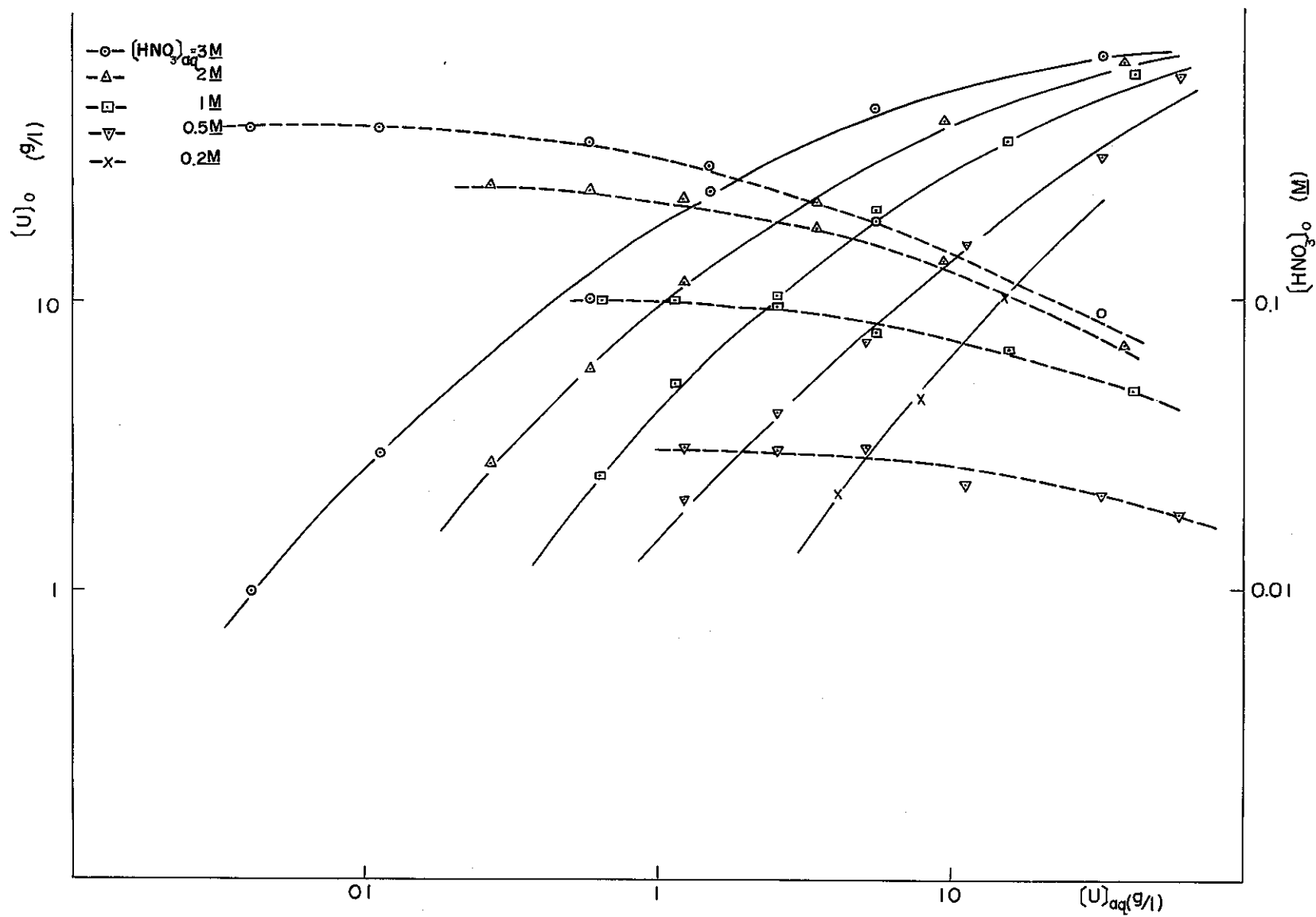


Fig. 6. Uranium distribution in 20 %(*v/v*) TBP- HNO_3 system.

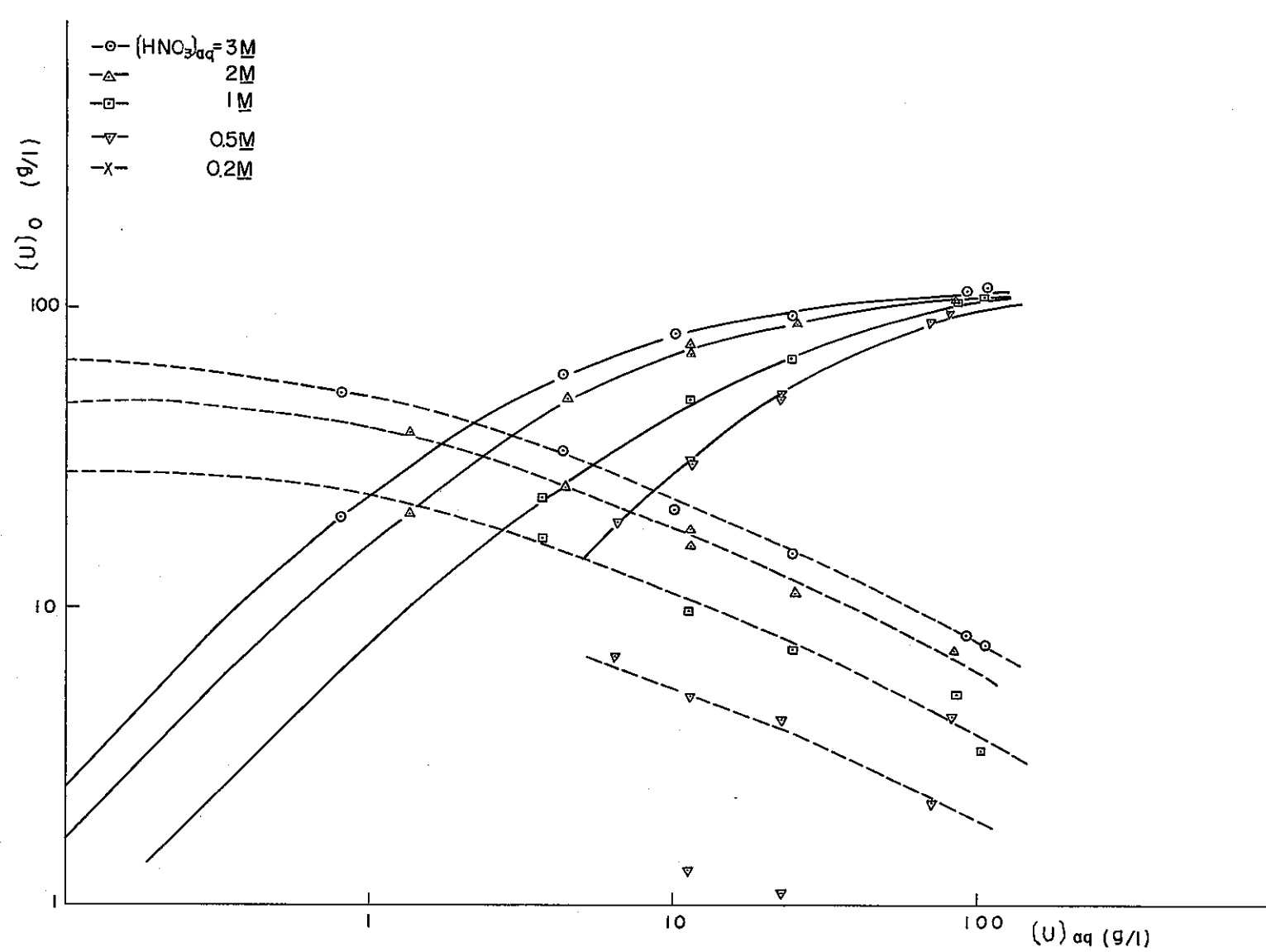


Fig. 7. Uranium distribution in 30 %(*v/v*) TBP- HNO_3 system⁷⁾. (Derived from Ref. 7).

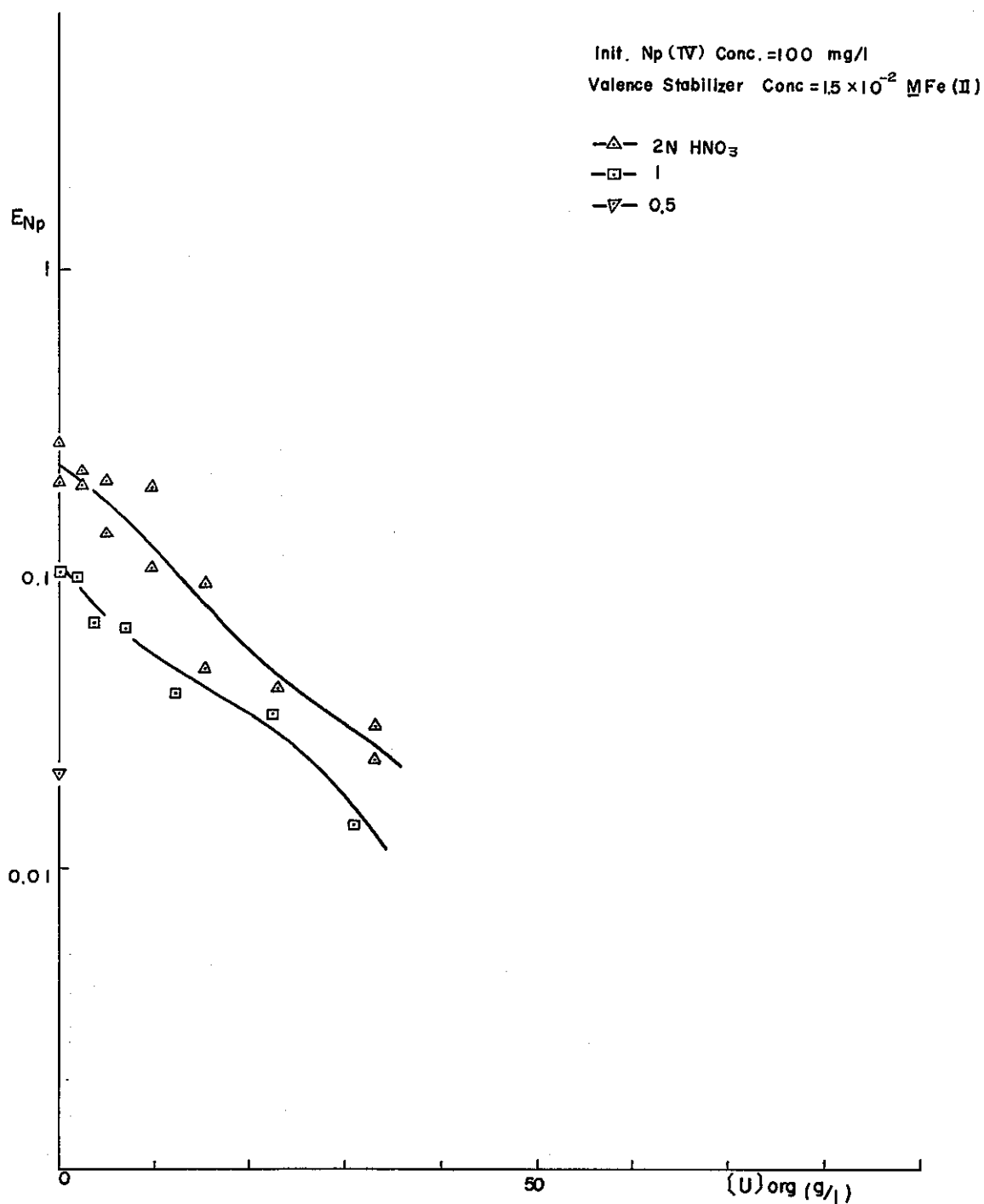


Fig. 8. Variation of the extraction coefficient of Np(IV) (E_{Np}) by the organic uranium concentration at various nitric acid concentration in aqueous phase at 10 % (v/v) TBP.

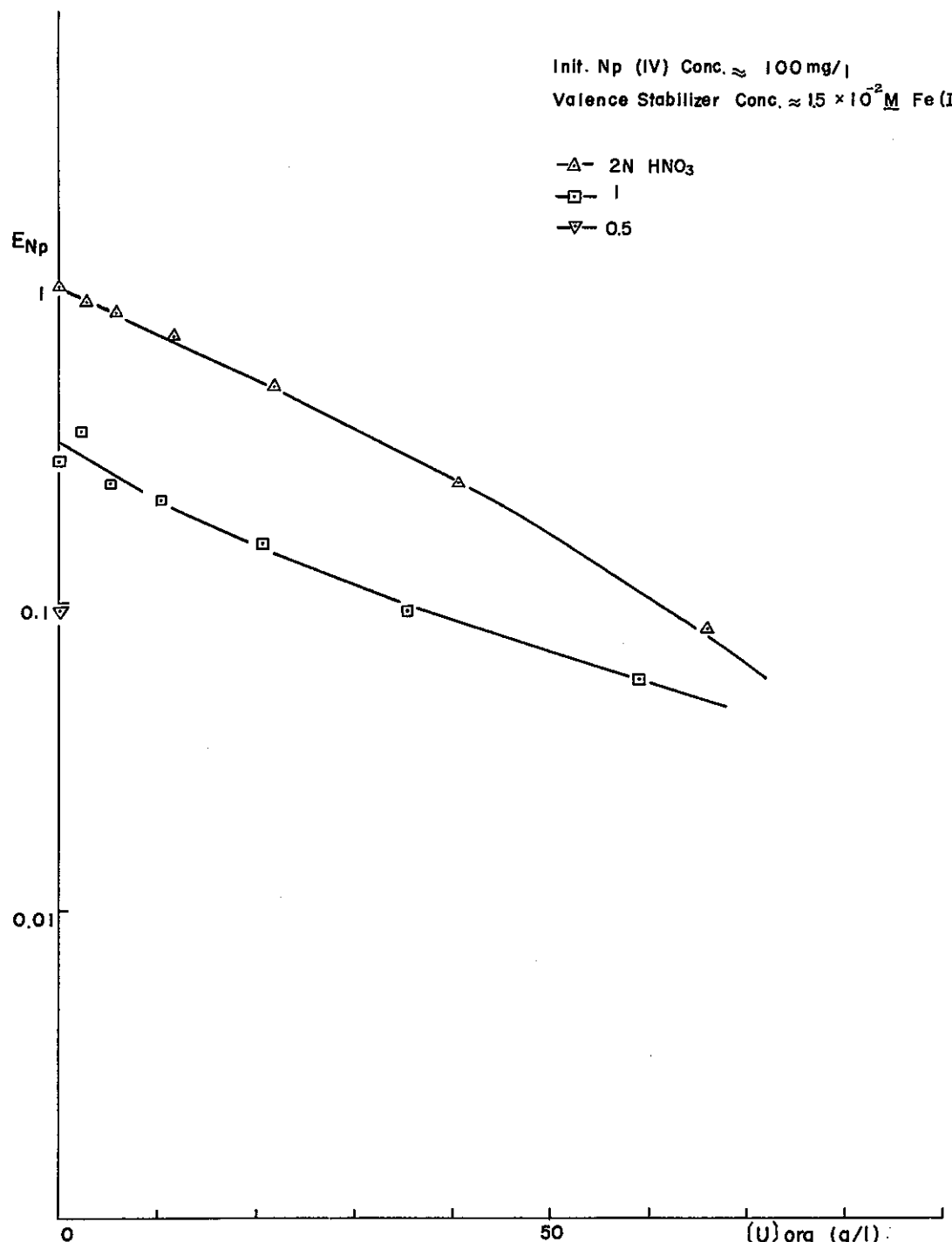


Fig. 9. Variation of the extraction coefficient of Np(IV) (E_{Np}) by the organic uranium concentration at various nitric acid concentration in aqueous phase at 20 % (v/v) TBP.

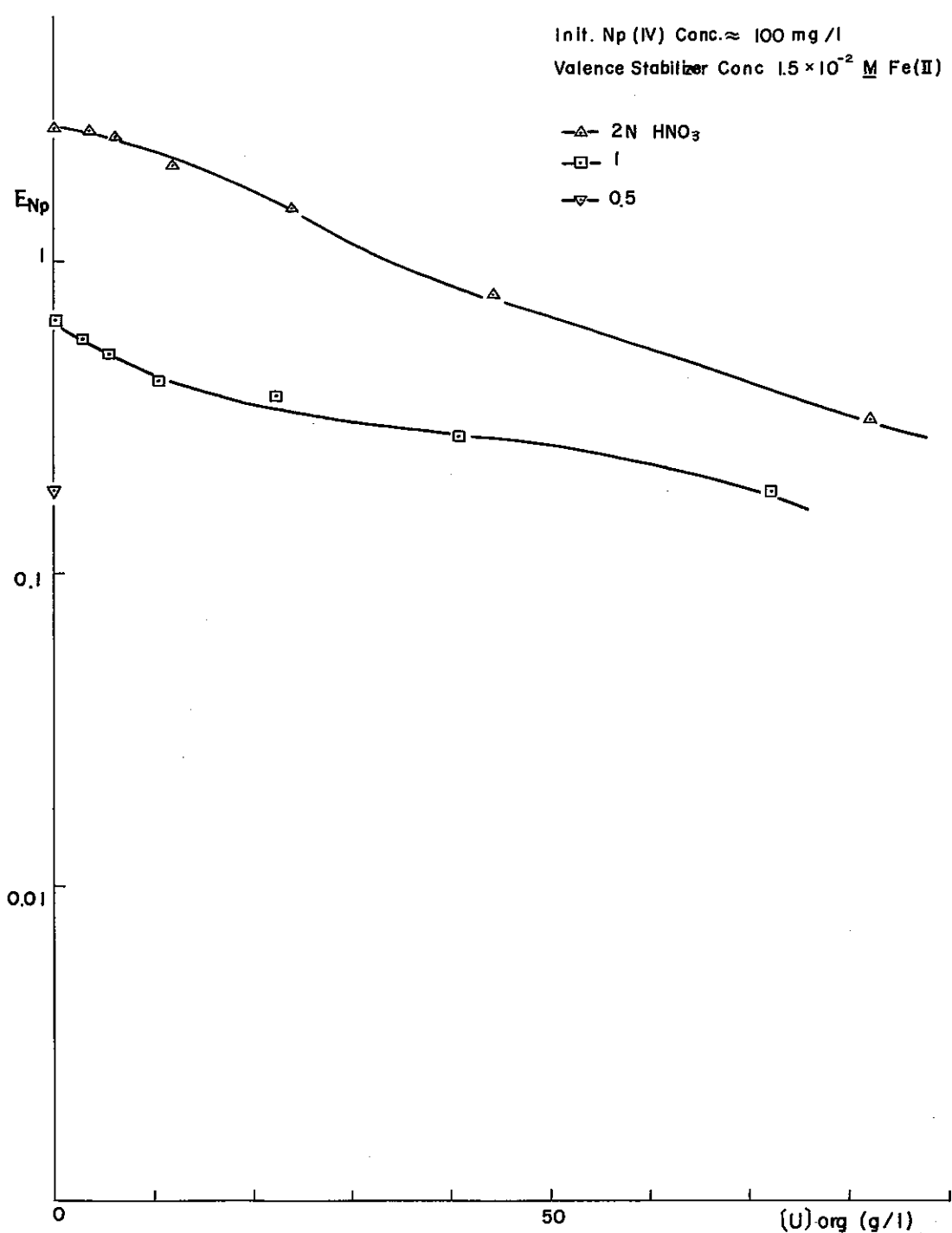


Fig. 10. Variation of the extraction coefficient of Np(IV) (E_{Np}) by the organic uranium concentration at various nitric acid concentration in aqueous phase at 30 % (v/v) TBP.

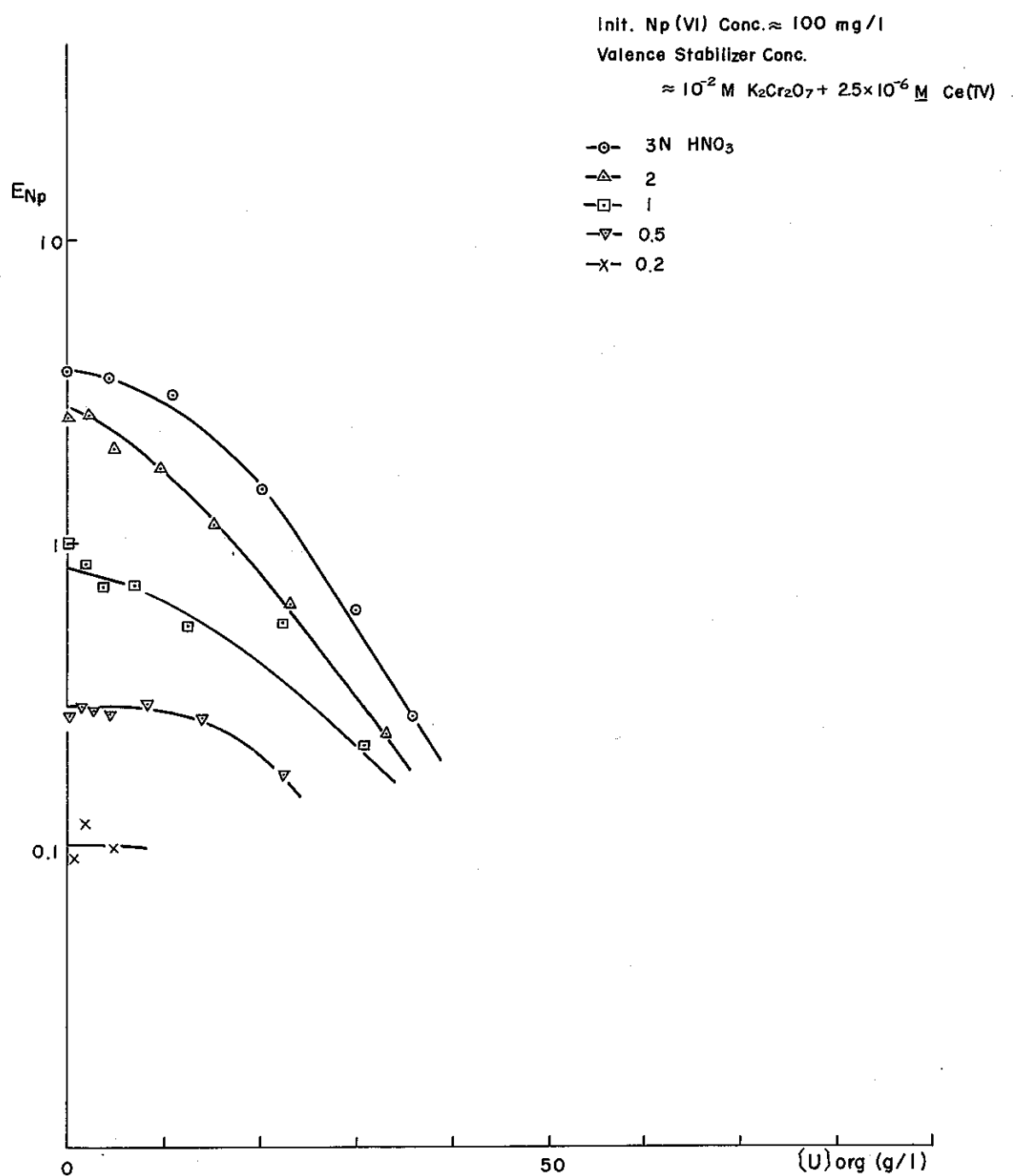


Fig. 11. Variation of the extraction coefficient of Np(VI) (E_{Np}) by the organic uranium concentration at various nitric acid concentration in aqueous phase at 10 % (v/v) TBP.

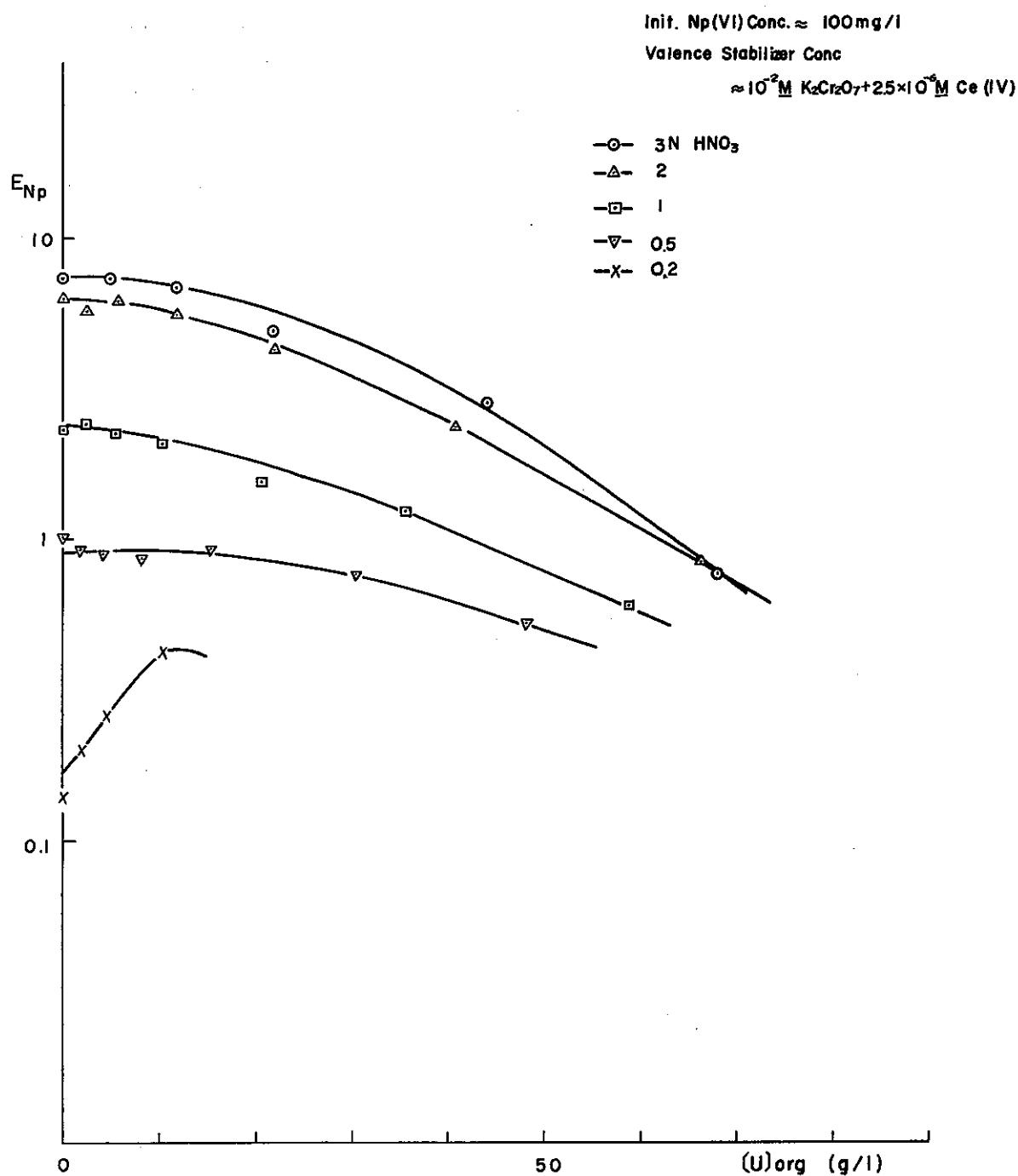


Fig. 12. Variation of the extraction coefficient of Np(VI) (E_{Np}) by the organic uranium concentration at various nitric acid concentration in aqueous phase at 20 % (v/v) TBP.

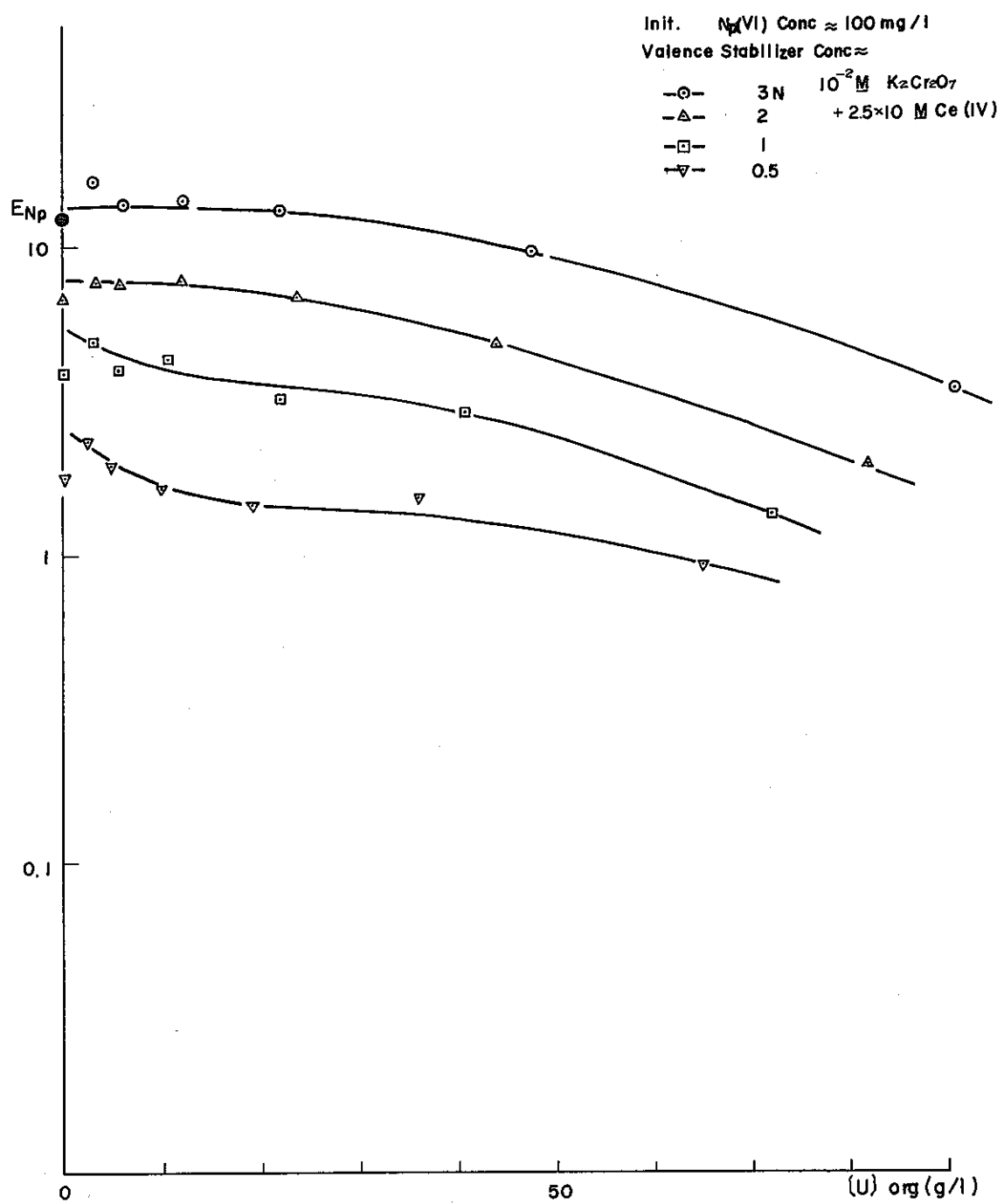


Fig. 13. Variation of the extraction coefficient of Np(VI) (E_{Np}) by the organic uranium concentration at various nitric acid concentration in aqueous phase at 30 % (v/v) TBP.

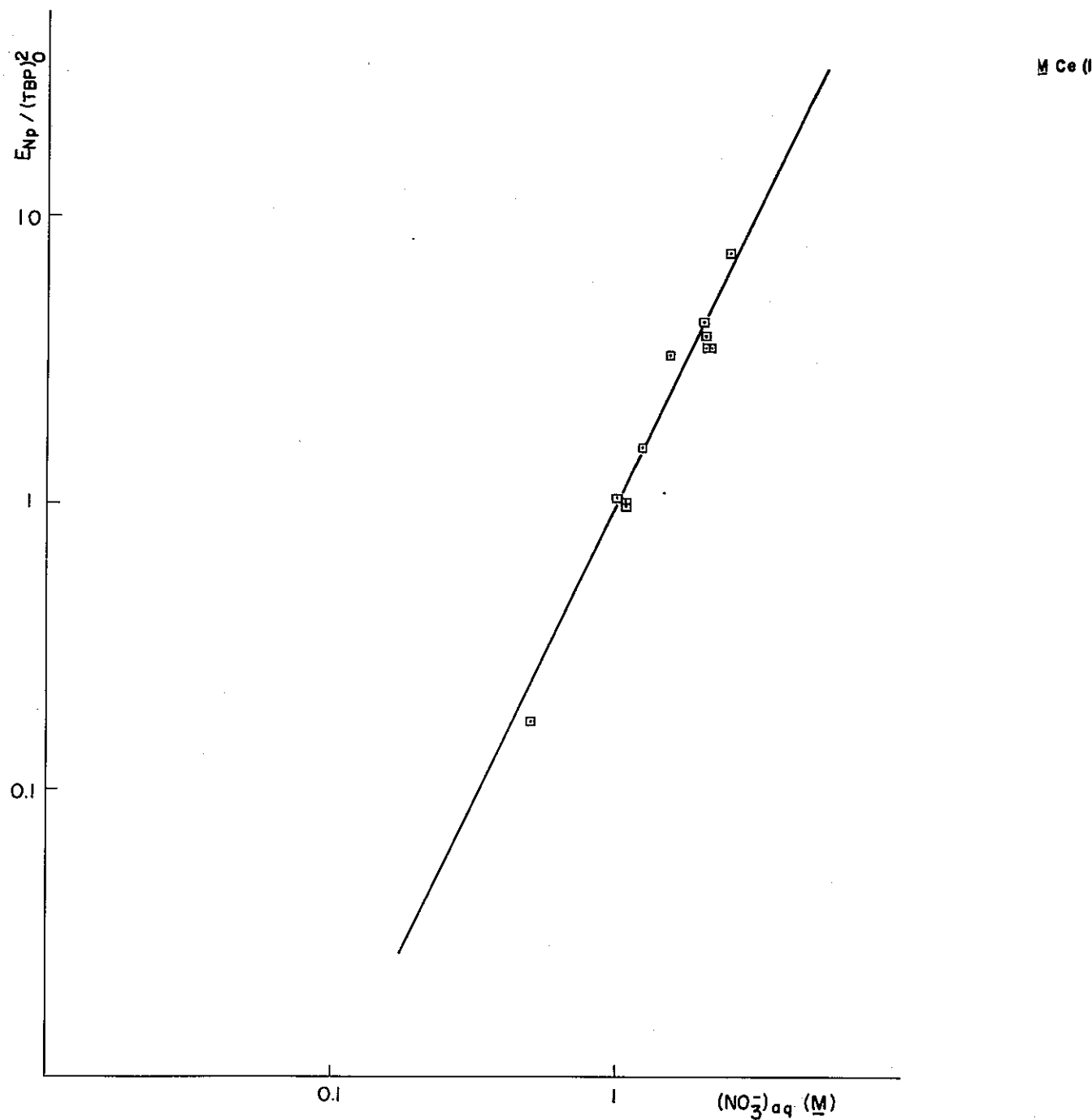


Fig. 14. Variation of $\log(E_{Np} / (\text{TBP})_f^2)$ versus $\log([NO_3^-]_{aq} \text{ (M)})$ for Np(IV) on the 10 vol.% TBP/Dodecane System.

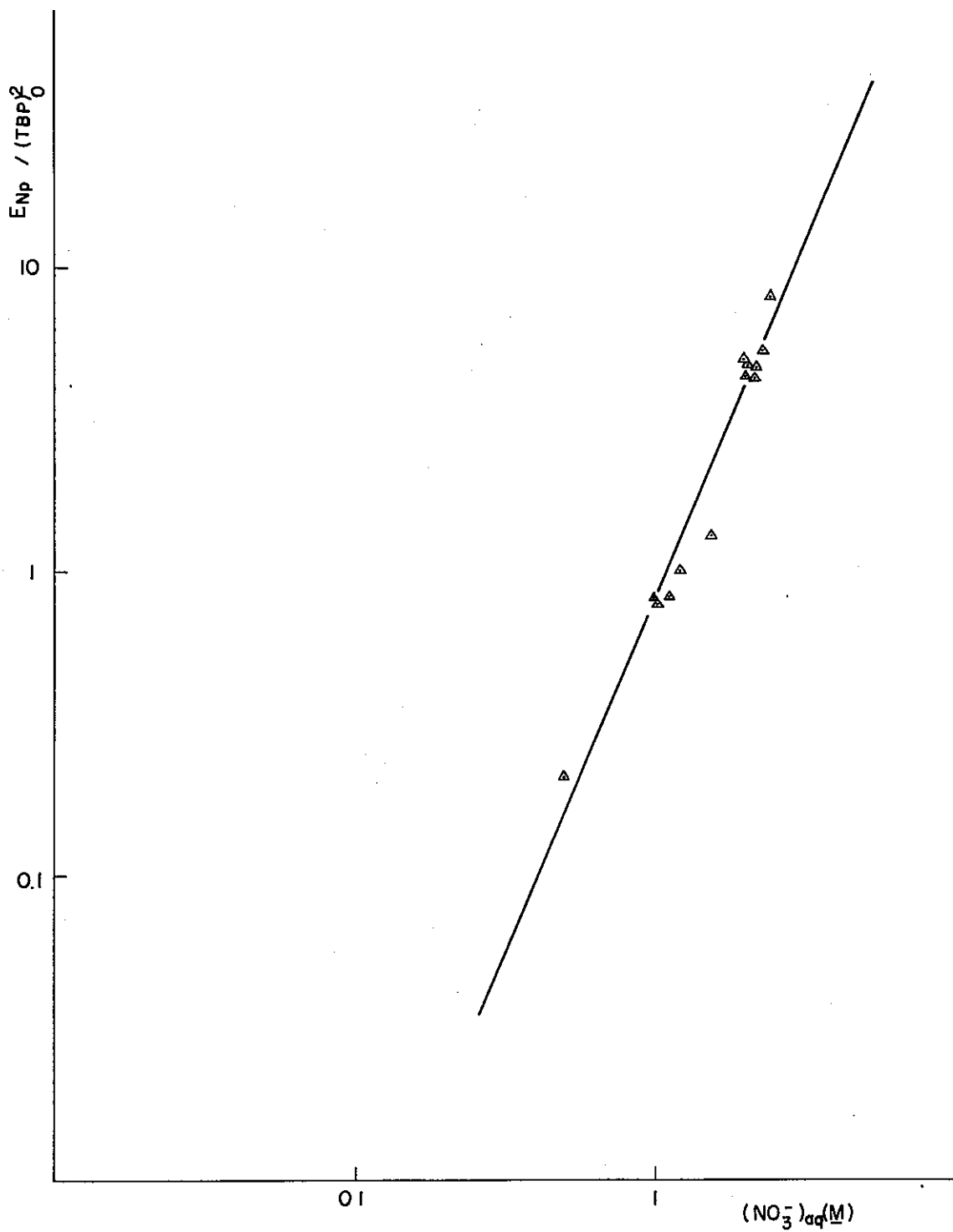


Fig. 15. Variation of $\log(E_{Np}/(TBP_f)^2)$ versus $\log([NO_3^-]_{aq})$ for Np(IV) on the 20 vol.% TBP/Dodecane System.

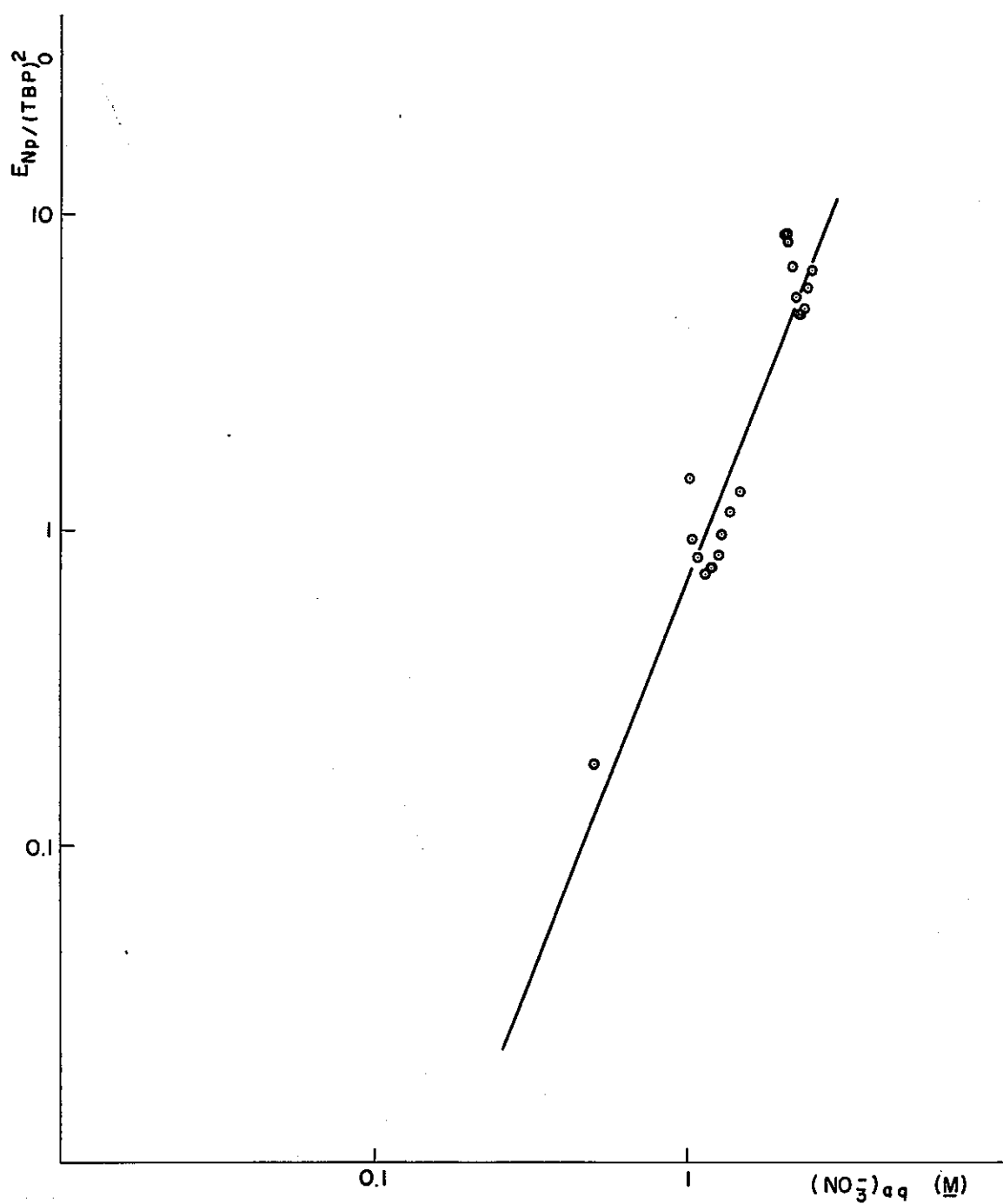


Fig. 16. Variation of $\log(E_{Np}/(TBP)_f^2)$ versus $\log([NO_3^-]_{aq} (M))$ for Np(IV) on the 30 vol.% TBP/Dodecane System.

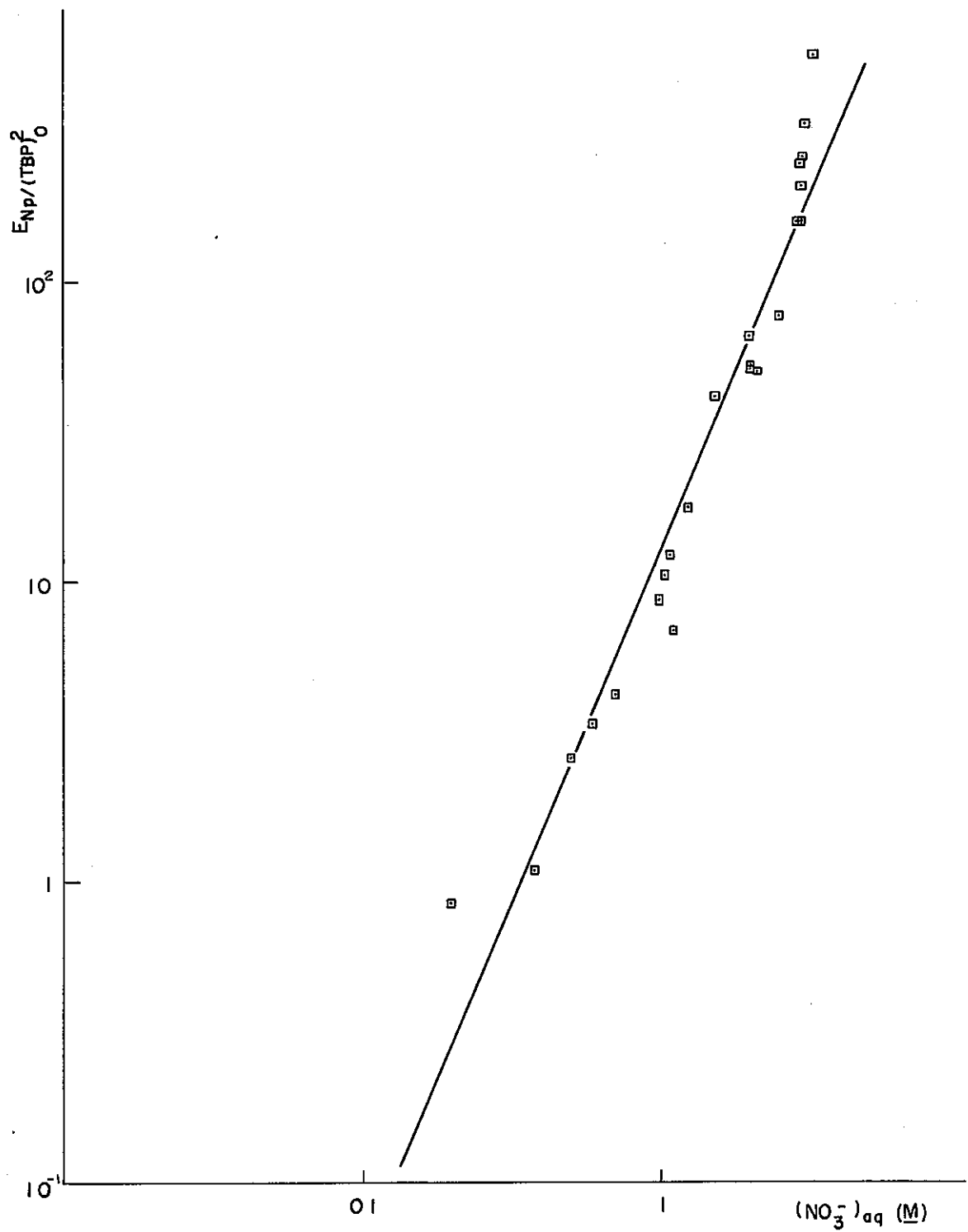


Fig. 17. Variation of $\log(E_{Np}/(TBP)_f^2)$ versus $\log([NO_3^-]_{aq})$ for Np(VI) on the 10 vol.% TBP/Dodecane System.

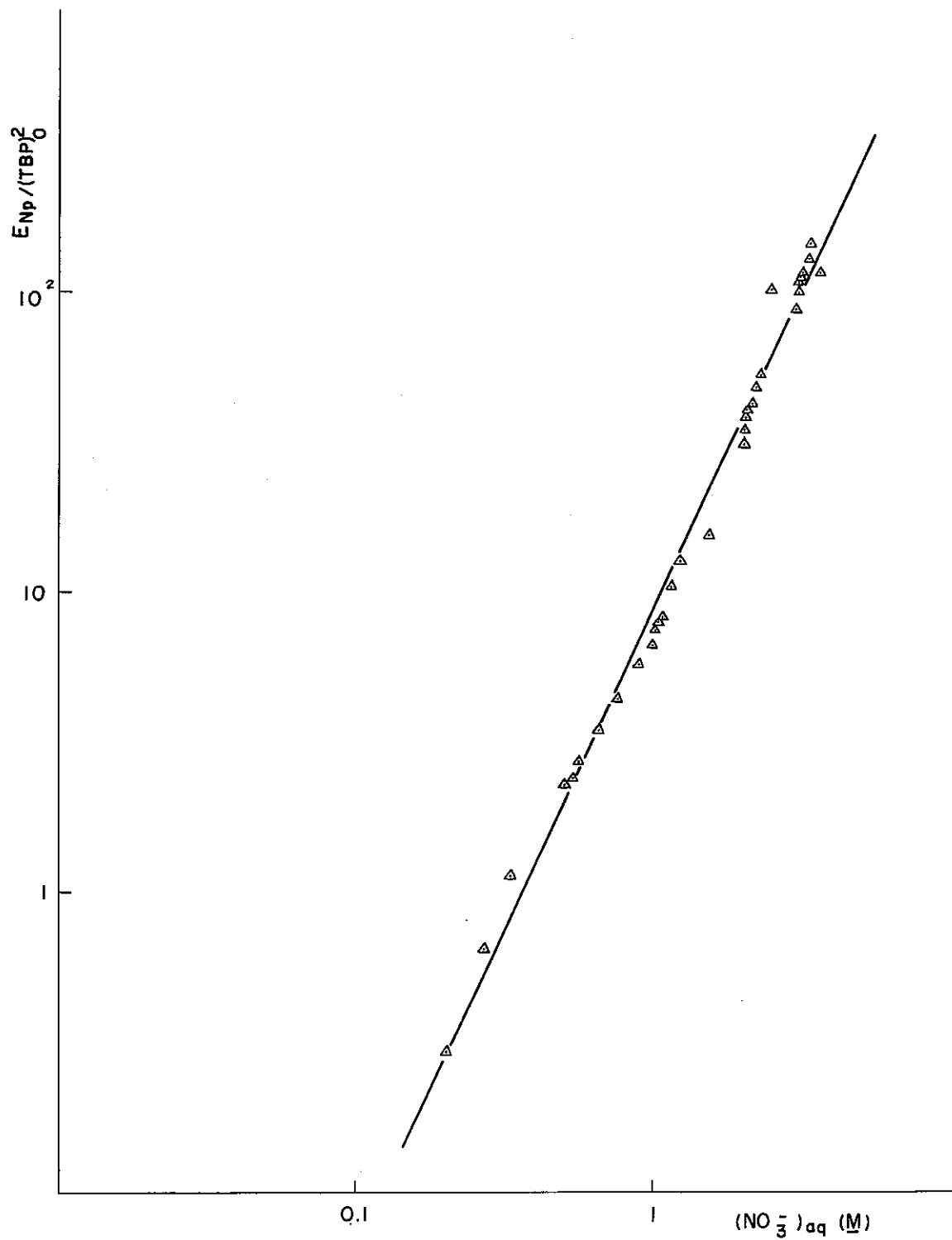


Fig. 18. Variation of $\log(E_{Np}/(TBP_f)^2)$ versus $\log([NO_3^-]_{aq} (M))$ for Np(VI) on the 20 vol.% TBP/Dodecane System.

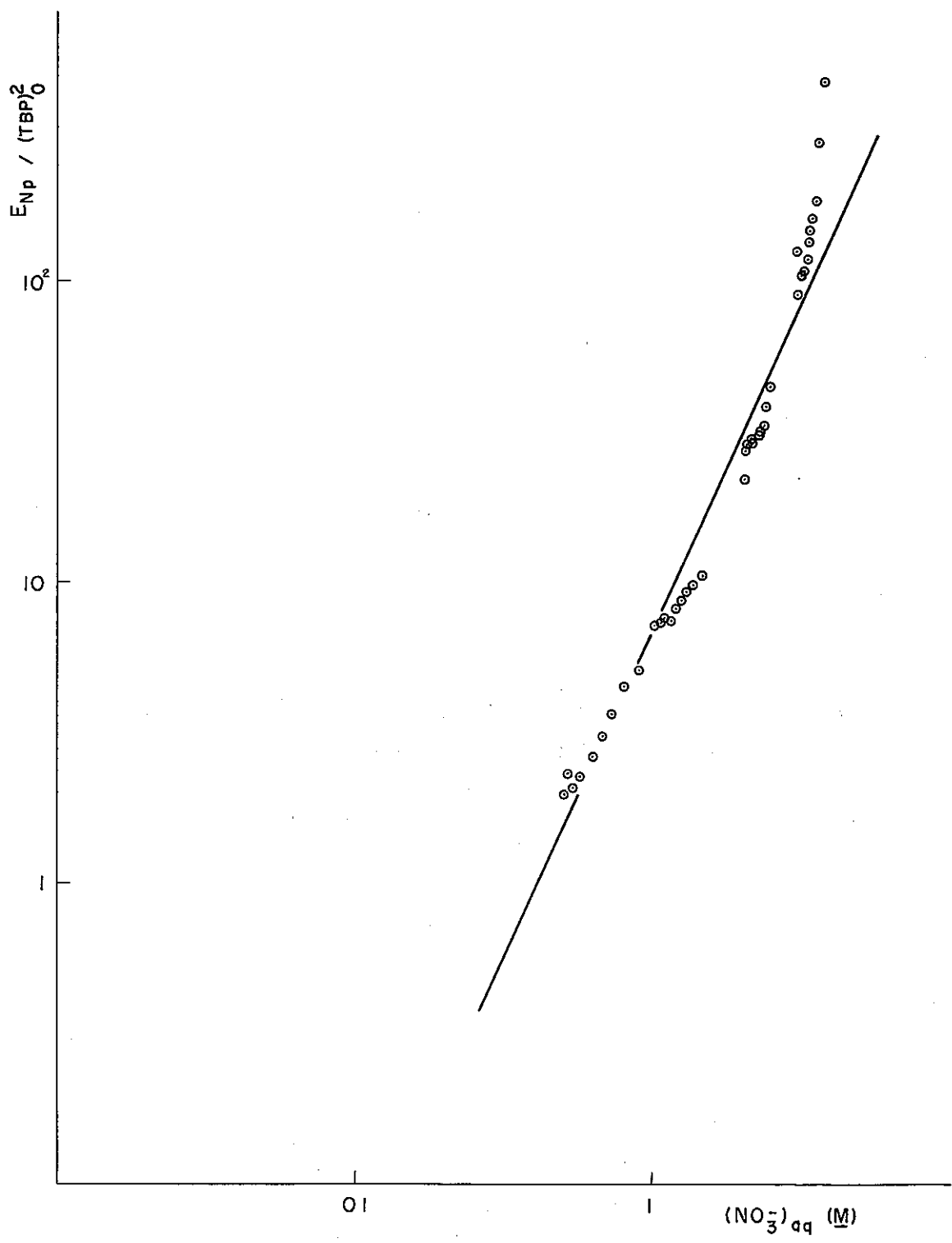


Fig. 19. Variation of $\log(E_{Np} / (TBP)_0^2)$ versus $\log([NO_3^-]_{aq} \text{ (M)})$ for Np(VI) on the 30 vol.% TBP/Dodecane System.

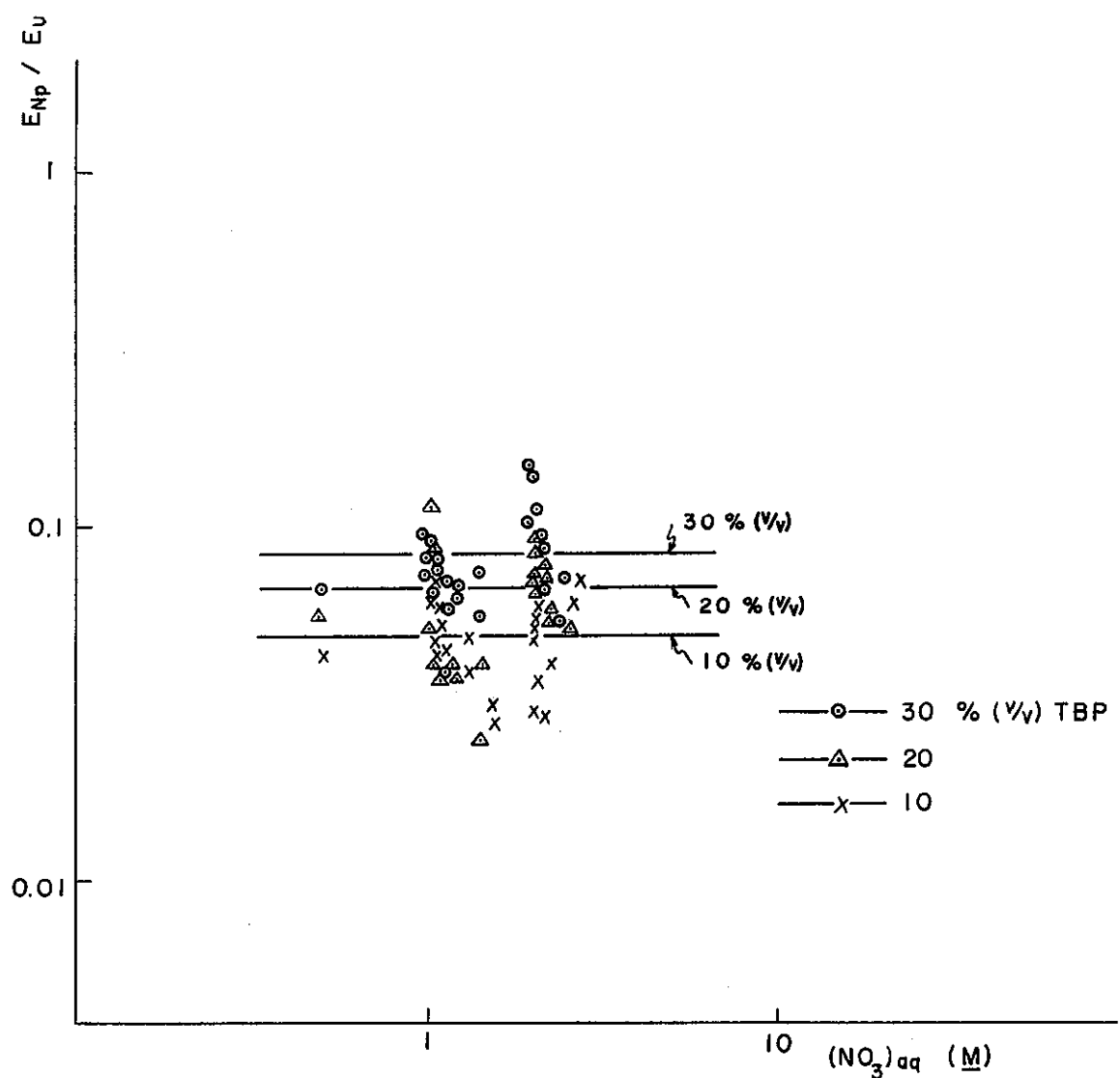


Fig. 14. Relation between E_{Np}/E_U and $(NO_3)_{aq}$ for Np(IV).

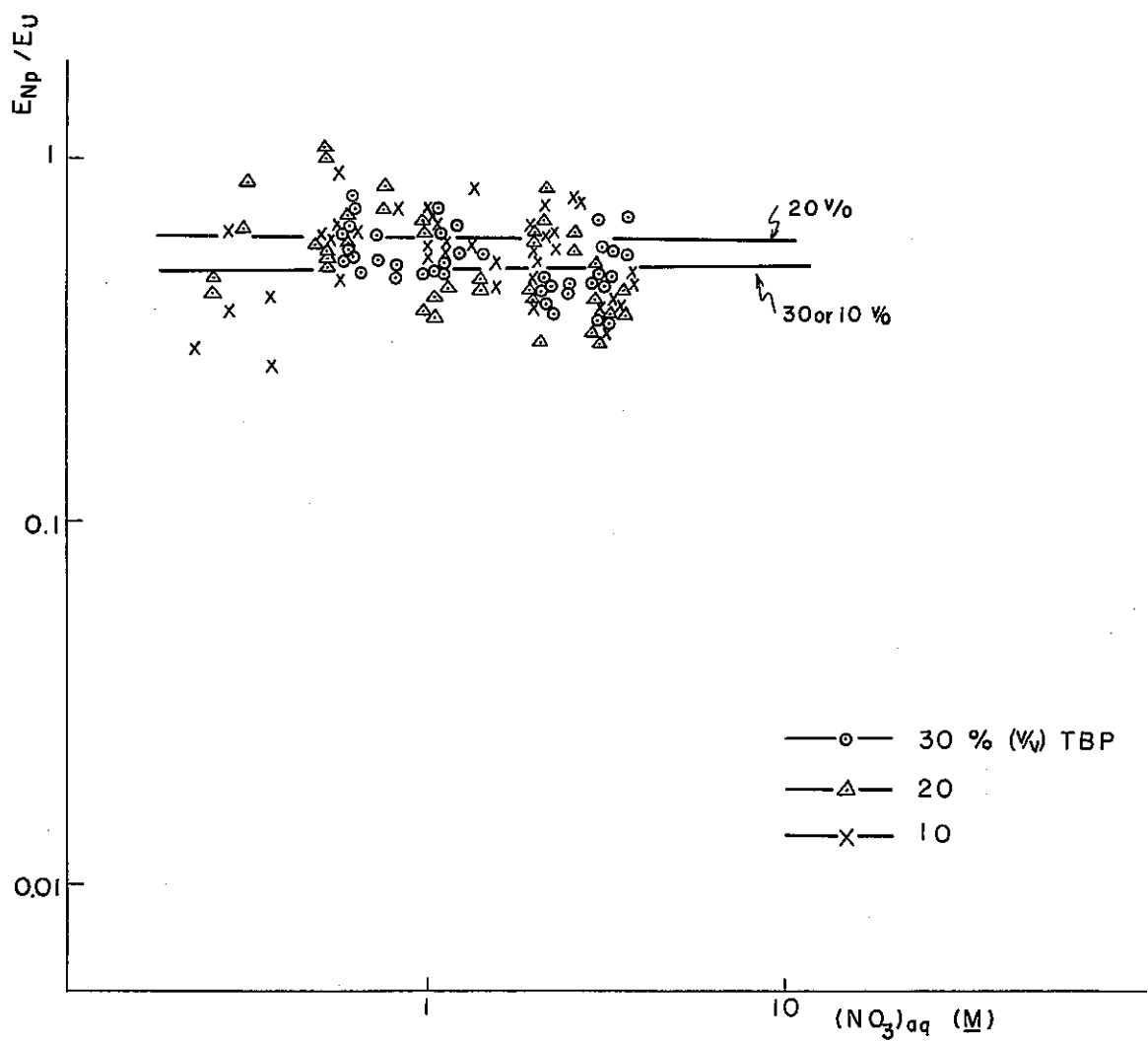


Fig. 15. Relation between E_{Np}/E_U and $(NO_3)_{aq}$ for Np(VI).

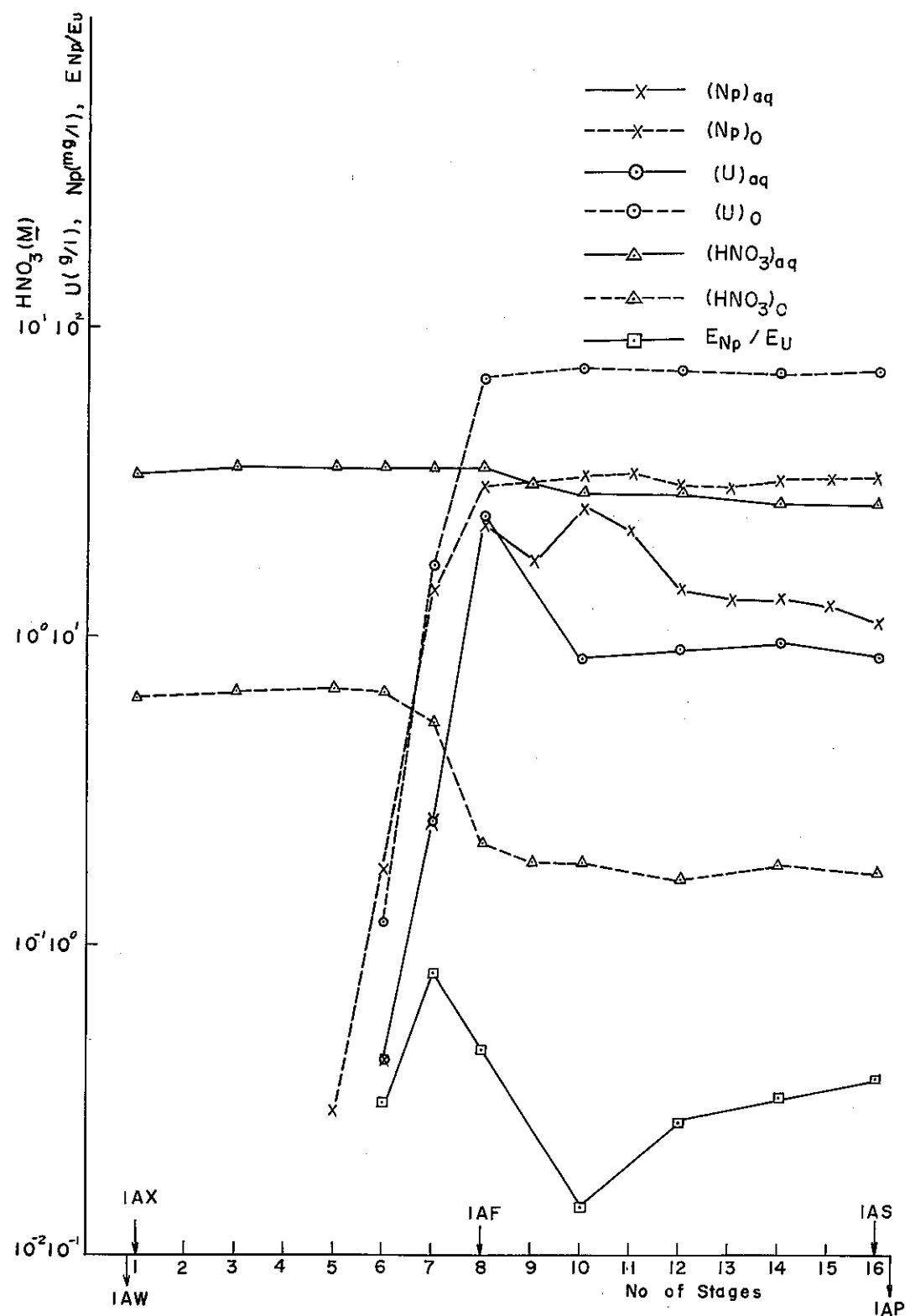


Fig. 16. Stage concentration profiles for Run-3T1N1-A bank (Np(VI)) distribution in a mixer settler for a LWR-1st cycle flow sheet).

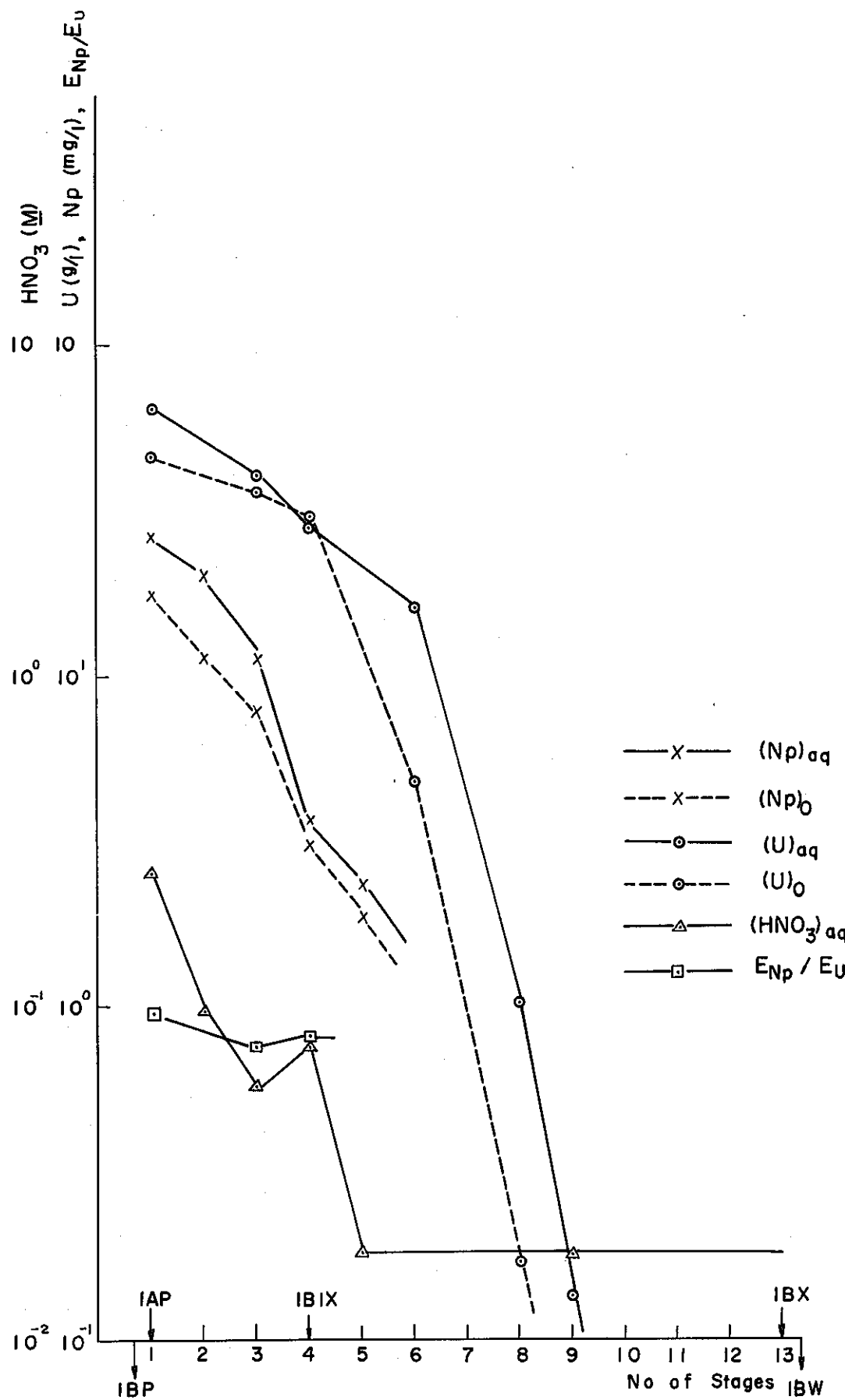


Fig. 17. Stage concentration profiles for Run-3T1N1-B bank.

Table 1. Results of uranium distribution in aqueous and organic phase.

(TBP) 10 % (v/v) ($0.344 \text{ mole} \cdot \text{l}^{-1}$)

$(\text{U})_{\text{aq}}$ (g·l ⁻¹)	$(\text{U})_{\text{org}}$ (g·l ⁻¹)	E_U	$(\text{HNO}_3)_{\text{org}}$ (M)	$(\text{TBP})_o$ (mole·l ⁻¹)	$E_U / (\text{TBP})_o^2$	$(\text{NO}_3)_{\text{aq}}$ (M)	Remark $(\text{HNO}_3)_{\text{aq.i}}$ (M)
5.42	0.845	0.16	nil	0.337	1.4	0.246	0.2
10.4	2.00	0.19	nil	0.327	1.8	0.288	0.2
20.9	4.90	0.23	nil	0.303	2.5	0.375	0.2
45.0	3.90	0.087	nil	0.311	0.90	0.578	0.2
2.17	1.05	0.48	0.007	0.328	4.5	0.524	0.5
4.38	2.16	0.49	0.009	0.317	4.9	0.543	0.5
8.60	4.13	0.48	0.009	0.300	5.3	0.576	0.5
17.8	8.07	0.45	0.007	0.269	6.2	0.656	0.5
40.2	13.8	0.34	0.004	0.224	6.8	0.847	0.5
76.8	22.5	0.29	0.007	0.148	13	1.15	0.5
1.51	1.86	1.3	0.037	0.291	15	1.02	1.0
2.56	3.50	1.4	0.036	0.279	18	1.03	1.0
6.16	6.73	1.1	0.031	0.253	17	1.06	1.0
12.6	12.1	0.96	0.031	0.211	22	1.12	1.0
33.8	22.4	0.66	0.025	0.131	38	1.30	1.0
63.7	30.7	0.48	0.021	0.064	1.2×10^2	1.56	1.0
0.629	2.45	3.9	0.11	0.218	82	2.02	2.0
1.38	4.96	3.6	0.095	0.207	84	2.04	2.0
3.02	9.78	3.2	0.085	0.177	1.0×10^2	2.06	2.0
9.88	15.3	1.6	0.057	0.158	64	2.15	2.0
23.3	23.0	0.99	0.045	0.105	90	2.27	2.0
67.6	33.0	0.49	0.027	0.040	3.1×10^2	2.66	2.0
0.093	0.898	9.6	0.188	0.148	4.4×10^2	3.02	3.0
0.278	2.85	10.	0.182	0.138	5.3×10^2	3.03	3.0
1.14	9.38	8.2	0.160	0.105	7.4×10^2	3.06	3.0
4.83	20.8	4.3	0.109	0.060	1.2×10^3	3.14	3.0
20.2	29.8	1.5	0.062	0.032	1.5×10^3	3.31	3.0
64.8	35.7	0.55	0.035	0.009	6.8×10^3	3.71	3.0

Table 2. Results of uranium distribution in aqueous and organic phase.

(TBP) 20 % (v/v) (0.688 mole·l⁻¹)

(U) _{aq} (g·l ⁻¹)	(U) _{org} (g·l ⁻¹)	E _U	(HNO ₃) _{org} (M)	(TBP) _o ² (mole·l ⁻¹)	E _U /(TBP) _o ²	(NO ₃) _{aq} (M)	Remark (HNO ₃) _{aq.i} (M)
4.18	2.12	0.51	0.007	0.670	1.1	0.235	0.2
7.99	4.55	0.57	nil	0.650	1.3	0.265	0.2
15.4	10.2	0.67	nil	0.602	1.8	0.329	0.2
41.0	9.20	0.22	nil	0.611	0.59	0.544	0.2
1.24	2.04	1.6	0.031	0.540	3.9	0.511	0.5
2.58	4.04	1.6	0.030	0.624	4.1	0.524	0.5
5.04	8.14	1.6	0.031	0.589	4.6	0.543	0.5
11.5	15.5	1.3	0.023	0.535	4.5	0.606	0.5
32.6	30.2	0.93	0.021	0.413	5.5	0.785	0.5
60.2	48.2	0.80	0.018	0.265	11	1.02	0.5
0.628	2.46	3.9	0.099	0.568	12	1.02	1.0
1.16	5.17	4.5	0.099	0.546	15	1.02	1.0
2.58	10.2	4.0	0.094	0.508	16	1.04	1.0
5.53	20.6	3.7	0.077	0.438	19	1.08	1.0
15.9	35.2	2.2	0.067	0.325	21	1.18	1.0
43.9	58.9	1.3	0.048	0.145	62	1.43	1.0
0.273	2.76	10	0.249	0.416	58	2.02	2.0
0.581	5.69	9.8	0.236	0.404	60	2.04	2.0
1.23	11.6	9.5	0.220	0.370	69	2.06	2.0
3.50	21.8	6.2	0.175	0.330	57	2.12	2.0
9.57	40.7	4.2	0.133	0.213	93	2.22	2.0
48.5	66.4	1.4	0.068	0.062	3.6×10 ²	2.61	2.0
0.041	0.977	24	0.392	0.288	2.9×10 ²	3.02	3.0
0.122	2.99	25	0.385	0.278	3.2×10 ²	3.03	3.0
0.584	9.98	17	0.352	0.252	2.7×10 ²	3.06	3.0
1.51	23.4	16	0.288	0.203	3.9×10 ²	3.14	3.0
5.51	45.8	8.3	0.182	0.122	5.6×10 ²	3.28	3.0
32.9	67.1	2.0	0.088	0.036	1.5×10 ³	3.60	3.0

Table 3. Relation of $E_{Np}/(TBP)_0^2$ to $(NO_3)_{aq}$ for Np(IV).

(TBP) 10 % (v/v) (0.344 mole \cdot l $^{-1}$)

$(U)_{org}$ (g \cdot l $^{-1}$)	$(HNO_3)_{org}$ (N)	$(TBP)_0$ (mole \cdot l $^{-1}$)	$E_{Np}(IV)$	$E_{Np}/(TBP)_0^2$	$(NO_3)_{aq}$ (M)	Remark $(HNO_3)_{aq\cdot i}$ (N)
0	0.008	0.336	0.021	0.19	0.50	0.5
0	0.038	0.306	0.10	1.1	1.00	1.0
5	0.036	0.266	0.070	0.99	1.04	1.0
10	0.033	0.227	0.052	1.0	1.09	1.0
20	0.026	0.150	0.036	1.6	1.24	1.0
30	0.021	0.071	0.017	3.4	1.52	1.0
0	0.11	0.234	0.24	4.4	2.00	2.0
5	0.094	0.207	0.17	3.8	2.03	2.0
10	0.080	0.180	0.12	3.6	2.06	2.0
20	0.052	0.124	0.054	3.5	2.18	2.0
30	0.029	0.063	0.030	7.6	2.50	2.0

Table 4. Relation of $E_{Np}/(TBP)_0^2$ to $(NO_3)_{aq}$ for Np(IV).

(TBP) 20 % (v/v) (0.688 mole \cdot l $^{-1}$)

0	0.030	0.658	0.094	0.22	0.500	0.5
0	0.10	0.588	0.29	0.83	1.00	1.0
5	0.098	0.548	0.24	0.80	1.01	1.0
10	0.093	0.511	0.22	0.82	1.03	1.0
20	0.081	0.439	0.15	0.78	1.07	1.0
30	0.068	0.368	0.11	0.84	1.13	1.0
40	0.060	0.292	0.087	1.0	1.22	1.0
50	0.042	0.226	0.068	1.3	1.55	1.0
0	0.24	0.448	1.0	5.2	2.00	2.0
5	0.23	0.416	0.87	5.0	2.01	2.0
10	0.22	0.389	0.73	4.8	2.03	2.0
20	0.18	0.340	0.52	4.5	2.08	2.0
30	0.15	0.284	0.36	4.5	2.14	2.0
40	0.13	0.227	0.25	4.9	2.20	2.0
50	0.095	0.172	0.16	5.5	2.30	2.0
60	0.072	0.112	0.10	8.2	2.45	2.0

Table 5. Relation of $E_{Np}/(TBP)_o^2$ to $(NO_3)_{aq}$ for Np(IV).

(TBP) 30 % (v/v) ($1.03 \text{ mole} \cdot \text{l}^{-1}$)

$(U)_{org}$ (g·l ⁻¹)	$(HNO_3)_{org}$ (N)	$(TBP)_o$ (mole·l ⁻¹)	$E_{Np(VI)}$	$E_{Np}/(TBP)_o$	$(NO_3)_{aq}$ (M)	Remark $(HNO_3)_{aq.i}$ (N)
0	0.078	0.952	0.18	0.20	0.500	0.5
0	0.28	0.750	0.84	1.5	1.00	1.0
5	0.25	0.738	0.51	0.94	1.04	1.0
10	0.22	0.726	0.43	0.82	1.07	1.0
20	0.17	0.692	0.35	0.73	1.13	1.0
30	0.14	0.638	0.31	0.76	1.19	1.0
40	0.12	0.576	0.28	0.84	1.23	1.0
50	0.10	0.510	0.26	0.98	1.29	1.0
60	0.085	0.441	0.23	1.2	1.35	1.0
70	0.072	0.370	0.19	1.4	1.44	1.0
0	0.48	0.550	2.6	8.7	2.00	2.0
5	0.46	0.528	2.5	8.8	2.02	2.0
10	0.43	0.516	2.2	8.3	2.05	2.0
20	0.37	0.492	1.7	6.8	2.12	2.0
30	0.32	0.458	1.1	5.4	2.18	2.0
40	0.28	0.414	0.83	4.8	2.23	2.0
50	0.24	0.370	0.66	4.8	2.28	2.0
60	0.21	0.321	0.52	5.1	2.34	2.0
70	0.18	0.264	0.41	5.9	2.39	2.0
80	0.15	0.213	0.30	6.6	2.48	2.0

Table 6. Relation of $E_{Np}/(TBP)_0^2$ to $(NO_3)_{aq}$ for Np(VI).

(TBP) 10 % (v/v) (0.344 mole \cdot l $^{-1}$)

$(U)_{org}$ (g \cdot l $^{-1}$)	$(HNO_3)_{org}$ (N)	$(TBP)_0^2$ (mole \cdot l $^{-1}$)	$E_{Np(VI)}$	$Np/(TBP)_0^2$	$(NO_3)_{aq}$ (M)	Remark $(HNO_3)_{aq.i}$ (N)
0	0	0.344	0.1	0.85	0.200	0.2
5	0	0.302	0.1	1.1	0.376	0.2
0	0.008	0.336	0.29	2.6	0.500	0.5
5	0.008	0.253	0.29	3.4	0.587	0.5
10	0.007	0.210	0.27	4.2	0.711	0.5
20	0.006	0.253	0.20	6.9	1.11	0.5
0	0.038	0.306	0.82	8.8	1.00	1.0
5	0.036	0.266	0.74	11	1.04	1.0
10	0.033	0.227	0.64	12	1.09	1.0
20	0.026	0.150	0.40	18	1.24	1.0
30	0.021	0.071	0.21	42	1.52	1.0
0	0.11	0.234	3.6	66	2.00	2.0
5	0.094	0.207	2.3	58	2.03	2.0
10	0.080	0.180	1.7	53	2.06	2.0
20	0.052	0.124	0.78	51	2.18	2.0
30	0.029	0.063	0.31	78	2.50	2.0
0	0.19	0.154	3.8	1.6×10^2	3.00	3.0
5	0.18	0.127	3.4	2.1×10^2	3.02	3.0
10	0.15	0.106	2.9	2.7×10^2	3.04	3.0
20	0.11	0.104	1.5	3.5×10^2	3.12	3.0
30	0.062	0.030	0.52	5.8×10^2	3.30	3.0

Table 7. Relation of $E_{Np}/(TBP)_o^2$ to $(NO_3)_{aq}$ for Np(VI).

(TBP) 20 % (v/v) (0.688 mole \cdot l $^{-1}$)

$(U)_{org}$ (g \cdot l $^{-1}$)	$(HNO_3)_{org}$ (N)	$(TBP)_o$ (mole \cdot l $^{-1}$)	$E_{Np(VI)}$	$E_{Np}/(TBP)_o^2$	$(NO_3)_{aq}$ (M)	Remark $(HNO_3)_{aq.i}$ (N)
0	0	0.688	0.14	0.30	0.200	0.2
5	0	0.646	0.27	0.65	0.269	0.2
10	0	0.604	0.42	1.2	0.326	0.2
0	0.030	0.658	1.0	2.3	0.500	0.5
5	0.029	0.617	0.92	2.4	0.529	0.5
10	0.027	0.577	0.92	2.8	0.562	0.5
20	0.025	0.495	0.86	3.5	0.643	0.5
30	0.022	0.414	0.76	4.4	0.743	0.5
40	0.020	0.332	0.63	5.7	0.880	0.5
50	0.018	0.250	0.50	8.0	1.05	0.5
0	0.10	0.588	2.30	6.7	1.00	1.0
5	0.098	0.548	2.30	7.7	1.01	1.0
10	0.093	0.511	2.10	8.0	1.03	1.0
20	0.081	0.439	1.6	8.3	1.07	1.0
30	0.068	0.368	1.5	11	1.13	1.0
40	0.060	0.292	1.1	13	1.22	1.0
50	0.042	0.226	0.8	16	1.55	1.0
0	0.24	0.448	6.3	31	2.00	2.0
5	0.23	0.416	6.2	36	2.01	2.0
10	0.22	0.389	5.8	38	2.03	2.0
20	0.18	0.340	4.7	41	2.08	2.0
30	0.15	0.284	3.5	43	2.14	2.0
40	0.13	0.227	2.5	49	2.20	2.0
50	0.095	0.172	1.6	54	2.30	2.0
60	0.072	0.112	1.4	1.0×10^2	2.45	2.0
0	0.40	0.288	7.3	88	3.00	3.0
5	0.38	0.266	7.2	1.0×10^2	3.02	3.0
10	0.35	0.254	7.1	1.1×10^2	3.05	3.0
20	0.29	0.230	6.0	1.1×10^2	3.12	3.0
30	0.24	0.196	4.6	1.2×10^2	3.18	3.0
40	0.20	0.157	3.2	1.3×10^2	3.24	3.0
50	0.15	0.118	2.1	1.5×10^2	3.33	3.0
60	0.083	0.101	1.2	1.2×10^2	3.59	3.0

Table 8. Relation of $E_{Np}/(TBP)_o^2$ to $(NO_3)_{aq}$ for Np(VI).(TBP) 30 % (v/v) ($1.03 \text{ mole} \cdot \text{l}^{-1}$)

$(U)_{org}$ (g·l ⁻¹)	$(HNO_3)_{org}$ (N)	$(TBP)_o$ (mole·l ⁻¹)	$E_{Np(VI)}$	$E_{Np}/(TBP)_o^2$	$(NO_3)_{aq}$ (M)	Remark $(HNO_3)_{aq.i}$ (N)
0	0.078	0.952	1.8	2.0	0.500	0.5
5	0.074	0.914	2.0	2.3	0.517	0.5
10	0.070	0.876	1.7	2.2	0.534	0.5
20	0.062	0.800	1.5	2.3	0.571	0.5
30	0.050	0.728	1.4	2.6	0.624	0.5
40	0.045	0.649	1.3	3.1	0.667	0.5
50	0.039	0.571	1.2	3.6	0.720	0.5
60	0.034	0.492	1.1	4.6	0.796	0.5
70	0.029	0.413	0.86	5.1	0.894	0.5
0	0.28	0.750	4.0	7.1	1.00	1.0
5	0.25	0.738	4.0	7.3	1.04	1.0
10	0.22	0.726	4.0	7.6	1.07	1.0
20	0.17	0.692	3.6	7.5	1.13	1.0
30	0.14	0.638	3.3	8.1	1.19	1.0
40	0.12	0.576	2.9	8.8	1.23	1.0
50	0.10	0.510	2.4	9.2	1.29	1.0
60	0.085	0.441	1.9	9.8	1.35	1.0
70	0.072	0.370	1.4	10	1.44	1.0
0	0.48	0.550	6.7	22	2.00	2.0
5	0.46	0.528	7.7	28	2.02	2.0
10	0.43	0.516	7.6	29	2.05	2.0
20	0.37	0.492	7.0	29	2.12	2.0
30	0.32	0.458	6.2	30	2.18	2.0
40	0.28	0.414	5.3	31	2.23	2.0
50	0.24	0.370	4.3	31	2.28	2.0
60	0.21	0.321	3.4	33	2.34	2.0
70	0.18	0.264	2.7	38	2.39	2.0
80	0.15	0.213	2.0	44	2.48	2.0
0	0.66	0.370	12	90	3.00	3.0
5	0.66	0.328	14	1.3×10^2	3.00	3.0
10	0.59	0.356	14	1.1×10^2	3.07	3.0
20	0.51	0.352	13	1.1×10^2	3.15	3.0
30	0.46	0.318	12	1.2×10^2	3.21	3.0
40	0.41	0.284	11	1.3×10^2	3.27	3.0
50	0.36	0.250	9.1	1.5×10^2	3.33	3.0
60	0.31	0.216	7.5	1.6×10^2	3.39	3.0
70	0.26	0.182	6.0	1.8×10^2	3.46	3.0
80	0.23	0.128	4.7	2.9×10^2	3.51	3.0
90	0.18	0.094	4.0	4.7×10^2	3.63	3.0